



ISSN 0378 - 7702

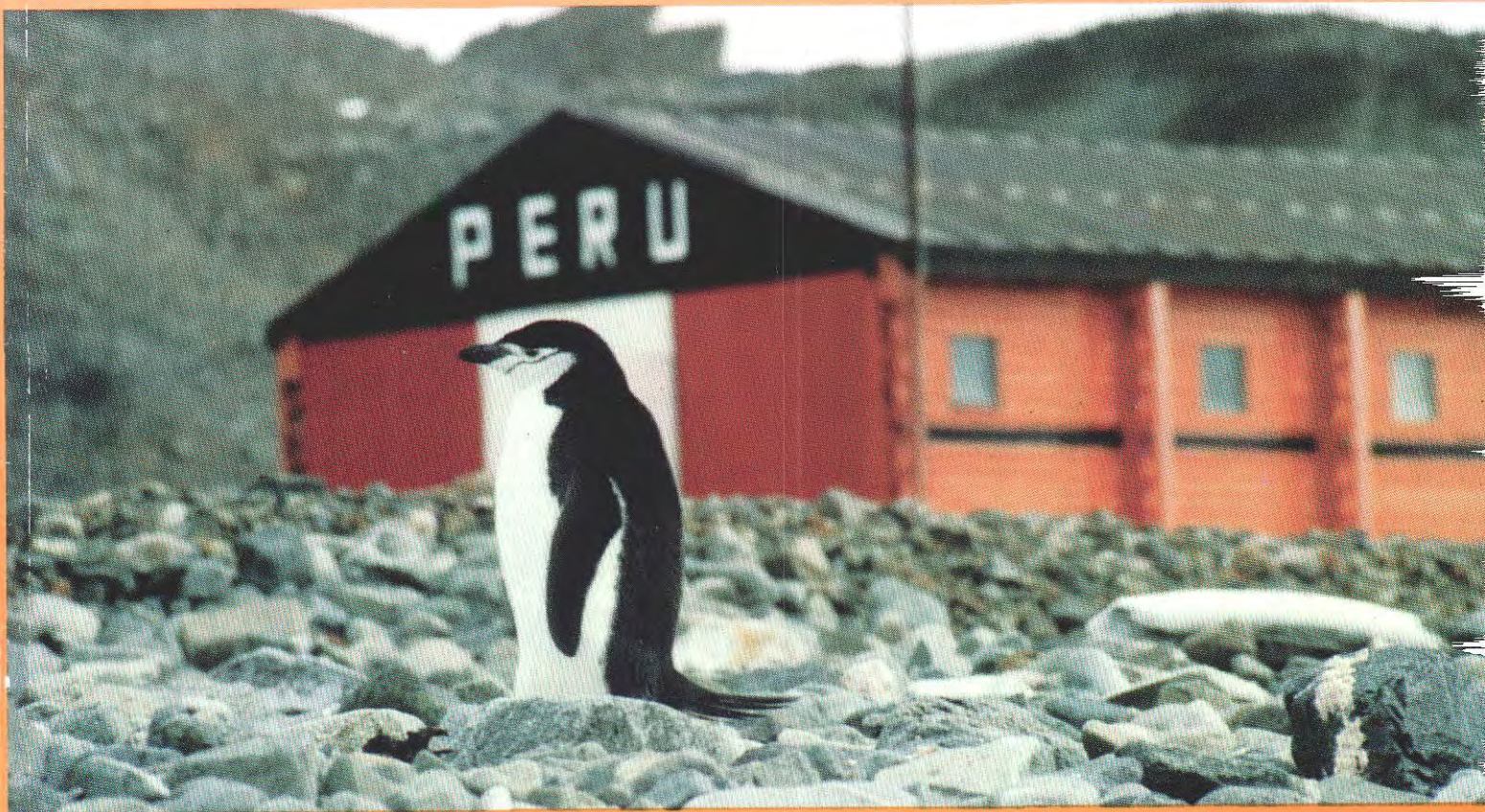
INSTITUTO DEL MAR DEL PERU

# INFORME

Nº 145

Mayo, 1999

**Resultados del Programa de Investigación Antártica  
del Instituto del Mar del Perú Verano Austral 1998.  
PERU ANTAR IX. Segunda parte.  
Crucero BIC Humboldt 9801**



Callao, Perú

# FITOPLANCTON DEL ESTRECHO DE BRANSFIELD E ISLA ELEFANTE DURANTE EL VERANO AUSTRAL 1998. PERÚ ANTAR IX

*Elcira Delgado Loayza<sup>1</sup>*

## RESUMEN

DELGADO, E. 1999. Fitoplancton del Estrecho de Bransfield e Isla Elefante durante el verano austral 1998. Inf. Inst. Mar Perú 145:7-46.

Durante la ejecución del programa de investigación a la Antártida realizado en el Estrecho de Bransfield e Isla Elefante en el verano austral de 1998, se estudió la composición, distribución y abundancia del fitoplancton. Se estimaron las concentraciones de los taxa fitoplanctónicos en superficie y entre los 10 y 75 m de profundidad.

En el área de Isla Elefante se registraron las mayores concentraciones de fitoplancton a nivel superficial con un máximo de 2 000 cel/mL y las especies más importantes en la composición del fitoplanctom fueron: *Monada* spp., *Leucocryptos marina* y *Phaeocystis pouchetii*. En el Estrecho de Bransfield los valores máximos de las densidades de fitoplancton fueron de 1 000 cel/mL a nivel de los 10 y 20 m de profundidad, debido a dos floraciones de *L. marina* y *P. pouchetii*, una en las proximidades de Isla Greenwich y la otra en el extremo norte de la Península Antártica, respectivamente. Estas observaciones, aunadas a la composición biológica de la comunidad, indican que una intensa mezcla de agua y luz permitieron el florecimiento de estas especies.

La diversidad registró valores bajos en superficie y entre los 10 y 30 m de profundidad, con especies características de la primera fase de la sucesión ecológica. El análisis de cluster indicó al 62 % tres grupos, denotando la validez de esta selección con el análisis MDS, confirmando la formación los conglomerados de muestras en función de la abundancia de fitoplancton.

**PALABRAS CLAVE:** Fitoplancton antártico, composición, distribución, verano austral 1998, Perú ANTAR IX.

## ABSTRACT

DELGADO, E. 1999. Phytoplankton of Bransfield Strait and Elephant Island surroundings during southern Summer 1998. Perú ANTAR IX. Inf. Inst. Mar Perú 145:7-46.

During the execution of the Peruvian antarctic research program carried out at the Bransfield Strait and the Elephant Island in southern Summer 1998, the phytoplankton composition, distribution and abundance were studied. Phytoplanktonic taxa concentration, at surface and between 10-75 m depth, were calculated.

Around the Elephant Island the highest phytoplankton's concentrations were registered at surface level with maximum value of 2 000 cel/mL, the most important species were: *Monada* spp., *Leucocryptos marina* and *Phaeocystis pouchetii*. In Bransfield Strait phytoplankton densities maximum values were 1 000 cel/mL at 10-20 m depth, due to blooms of *L. marina* and *P. pouchetii*, one nearest Greenwich Island, and other at Antarctic peninsula's northern extreme, respectively. These observations and the community's biological composition, indicate that a high mixture of water and light permit these species to bloom.

At surface level and between 10 to 30 m depth low diversity was registered, with species typical of the first phase of an ecological succession. The cluster analysis (at 62%) indicated three groups, denoting the validity of this selection with MDS analysis, confirming the formation of conglomerate samples in function of phytoplankton abundance.

**KEY WORDS:** Antarctic phytoplankton, composition, distribution, Southern Summer 1998, Peru ANTAR IX.

## INTRODUCCION

La mayor parte de la información de la composición del fitoplancton del ecosistema marino antártico fue recogida durante la década de intensa exploración sud polar a comienzos del siglo pasado (CLEVE 1873), siendo esta de tipo descriptivo. En el presente siglo HART (1934, 1942), realizó uno de los estudios más extensos y detallados (EL SAYED, 1984).

PRIDDLE *et al.* (1986) consideran al océano antártico como un ecosistema de afloramiento a gran escala,

relativamente homogéneo donde el fitoplancton aparentemente crece en la mayor parte de su extensión por debajo del nivel que le permitirían las condiciones físico-químicas del agua.

De una manera general se considera a las diatomeas y a *Phaeocystis pouchetii* como los principales contribuyentes a la biomasa del fitoplancton antártico (HART 1934). BUCK y GARRISON (1983) señalaron que el nanoplankton puede ser, al menos en ocasiones, un contribuyente importante como fue el caso del presente estudio.

En el trayecto del crucero BIC Humboldt 9801, Perú ANTAR IX, se realizó un muestreo destinado a evaluar la biomasa y composición del fitoplancton antártico. En

<sup>1</sup> Área de Fitoplancton y Producción Primaria. DOB. DGIO. IMARPE

este segundo aspecto se persiguió la identificación de las especies que contribuyeron de forma general a la biomasa fitoplanctónica en el área estudiada. Los muestreos se desarrollaron en el Estrecho de Bransfield y en la plataforma costera de Isla Elefante.

En el presente trabajo se muestran las características del primer eslabón de la malla trófica, con el propósito fundamental de proporcionar información del fitoplancton necesaria para una mejor comprensión de la distribución, comportamiento y alimentación del krill (*Euphausia superba*).

## MATERIAL Y METODOS

En la Figura 1 se muestra el trayecto con la carta de posiciones de las estaciones de la Operación Perú Antar IX a la Antártida.

El presente estudio comprende el análisis cualcuantitativo del material fitoplancónico entre la Península Antártica y las Islas Shetland del sur entre las latitudes 60,5-63,5° S y longitudes 53,0-61,0° W, en el área del

Estrecho de Bransfield y alrededor de la Isla Elefante, a bordo del BIC Humboldt durante la Novena Expedición Científica Peruana, en el verano austral de 1998.

Para los análisis cuantitativos se colectaron 233 muestras de agua con botellas Niskin en 40 estaciones (1 a 26 y 30 a 43), a profundidades de 0, 10, 20, 30, 50 y 75 metros. Las muestras fueron fijadas con formalina neutralizada con bicarbonato de sodio al 1 % y sedimentadas en cámaras de recuento con cilindros de sedimentación de 50 mL de capacidad. Los recuentos de los organismos se hicieron en un microscopio invertido, siguiendo la metodología de UTERMÖHL (1958) y las recomendaciones de UNESCO (1978).

Las muestras fueron tratadas químicamente, según la metodología de BALECH y FERRANDO (1964), para eliminar el contenido protoplasmático y facilitar la identificación taxonómica de las especies la que se realizó en un microscopio compuesto Leitz.

Los resultados de los análisis se expresan en número de células/50 mL (Tabla 1). Para efectos de comparación, en la elaboración de los gráficos, los resultados se presentan en número de células/mL.

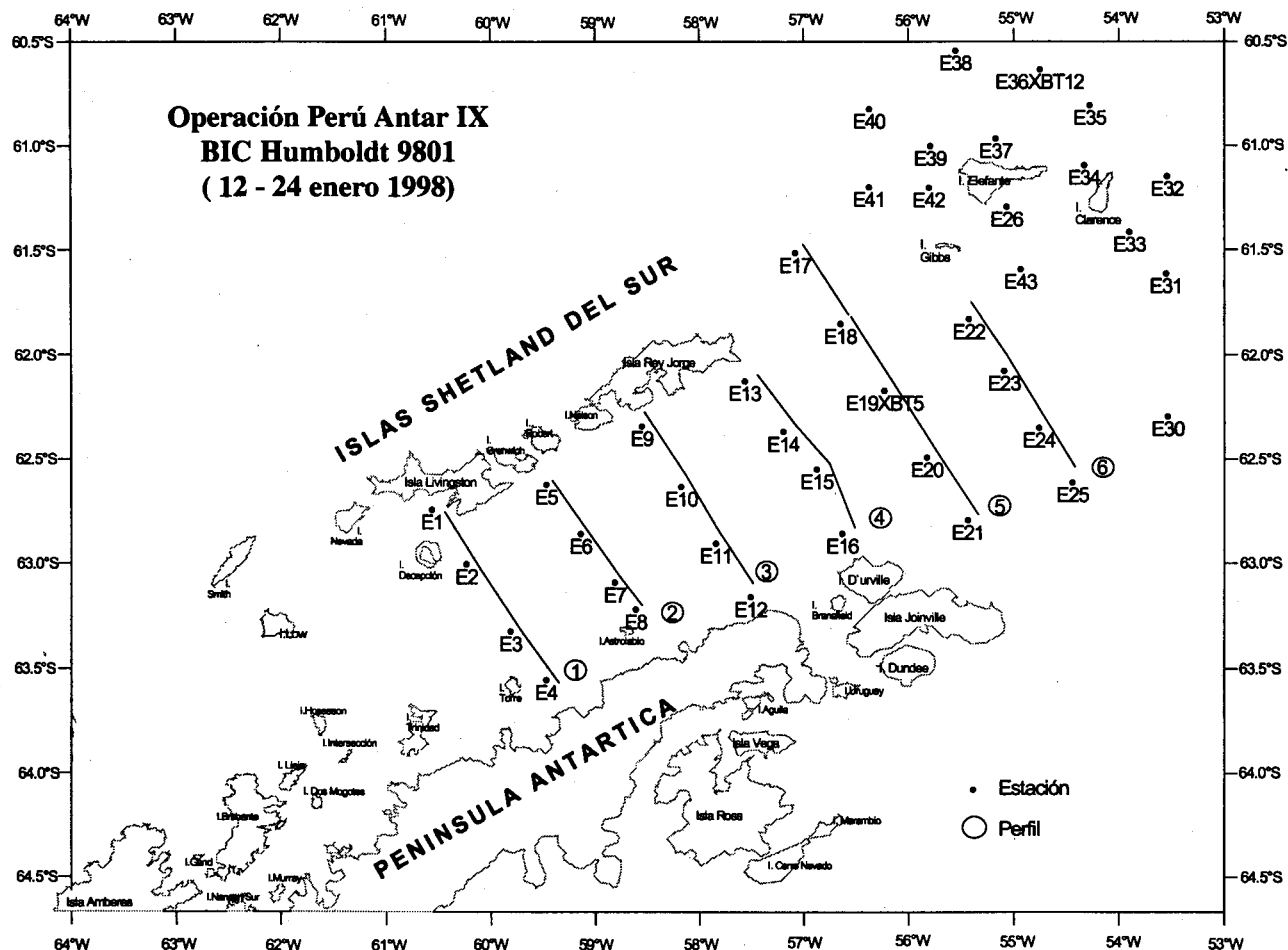


FIGURA 1. Carta de posiciones

Para la determinación de las especies se consultaron los trabajos de BALECH (1958, 1971, 1973), FERREYRA y FERRARIO (1983), FRENGUELLI (1943, 1960), FRENGUELLI y ORLANDO (1958), HASLE (1965 a y b), HASLE y SYVERTSEN (1985), HENDEY (1937), MARTÍNEZ (1972), PRIDDLE y FRYXELL (1985).

Se realizó un análisis de comunidades entre estaciones, aplicando el programa Primer V.4, se calculó el índice de diversidad de SHANNON WIENER en base a logaritmo 2 y expresado en bits/célula. Para identificar las principales asociaciones entre muestras se utilizó el índice de similaridad de BRAY-CURTIS (modo Q), agrupamiento de estaciones, según las similaridades de especies y una posterior clasificación jerárquica acumulativa (cluster) a través de dendrograma. Los datos de abundancia de especies fueron transformados a  $\log_{10}$  ( $X+1$ ). Para cada grupo definido se registraron las especies más comunes y aquéllas que los caracterizan. Adicionalmente se realizó el análisis de ordenación escalación no métrica multidimensional (MDS), utilizando la matriz de similaridad entre muestras para determinar los sitios o lugares en los que las muestras más similares en términos de abundancia se encuentran más cerca de las otras.

Para la elaboración de las figuras se utilizó el software Surfer.

## RESULTADOS

### Composición del fitoplancton

Se han registrado 132 taxa (Tabla 1). De los 120 fitoplanctónicos, 97 son diatomeas, 16 dinoflagelados, 5 fitoflagelados, y 2 silicoflagelados. Corresponden al zooplancton: 6 ciliados, 4 zooplanctones y 2 tintíñidos.

El fitoplancton de la zona estuvo dominado por fitoflagelados, de los cuales los más abundantes fueron *Monada* spp., *Leucocryptos marina* y *Phaeocystis pouchetii*. Las diatomeas más frecuentes y con elevadas abundancias fueron *Chaetoceros socialis*, *Chaetoceros neglectum*, *Fragilaria striatula*, *Navicula* spp. y *Thalassiosira* sp.. *Corethron criophilum* fue la diatomea presente en más del 90% de las muestras estudiadas.

Los dinoflagelados fueron escasos, pertenecientes a los géneros *Amphidinium*, *Ceratium*, *Oxytoxum*, *Porella*, *Pronoctiluca*, *Prorocentrum*, *Protoperidinium* y *Scrippsiella*. Además se registraron especies pequeñas de los géneros *Gyrodinium* y *Gymnodinium*, los que presentaron una distribución homogénea en toda la zona en estudio, como *Gyrodinium lachryma*. Los silicoflagelados fueron aún más escasos, y estuvieron representados por las especies *Dictyocha fibula* y *Dictyocha speculum*, esta última se presentó en 18 estaciones.

Los ciliados presentes fueron *Lohmanniella*

*oviformis*, *Strombidium conicum*, *Strombidium conicoides*, *Strombidium strobila*, *Tiarina fusus* y una especie no determinada.

### Distribución horizontal

La distribución horizontal del fitoplancton en superficie y entre los 10 y 75 m de profundidad (Figs. 2 a 7), fue similar a de los fitoflagelados (Fig. 8), los que constituyeron el 93,5 % de la concentración total de las células. Las concentraciones totales de células en superficie fueron fluctuantes con máximo de 2 826 cel/mL (Est. 38) al norte de Isla Elefante donde predominaron *Monada* spp y *L. marina* y la mínima, menos de 1 cel/mL al sur de la misma isla, en las estaciones 21 y 22 a 10 y 30 m, respectivamente. Las diatomeas aumentaron su abundancia por debajo de los 10 m de profundidad (Fig. 9), destacando *Chaetoceros socialis* y *Chaetoceros neglectum*. Sin embargo, como sus concentraciones fueron muy bajas, no representaron más del 6 % de la concentración total, asociados a rangos de temperaturas de -1,0 a 1,7 °C y salinidades de 33,90 y 34,40 ups.

Núcleos con las mayores concentraciones celulares superficiales se presentaron alrededor de la Isla Elefante (1000 y 2000 cel/mL), sustentados por 2 especies de fitoflagelados: *L. marina* y *Monada* spp. y la diatomea *Navicula* spp., en tanto que las menores concentraciones se registraron en el Estrecho de Bransfield con valores inferiores a 50 cel/mL.

En la mayoría de las estaciones, la concentración celular fue mayor en superficie que a 10 m de profundidad.

### Distribución vertical

Se han considerado 6 perfiles para los resultados de la distribución vertical de fitoplancton (Fig. 10), los cuales muestran que los altos valores de las concentraciones celulares mayores de 100 cel/mL se encontraron entre la superficie y 50 m de profundidad, con excepción del perfil 2 donde la abundancia experimentó un incremento considerable, dada por la concentración de *Leucocryptos marina* que superó los 1 000 cel/mL a 75 m de profundidad.

En los niveles de 50 y 75 m las concentraciones de fitoplancton disminuyeron paulatinamente con la profundidad, encontrándose concentraciones menores a 50 cel/mL, en donde las especies más importantes fueron las diatomeas *Chaetoceros neglectum* y *Chaetoceros socialis*, además de los fitoflagelados *L. marina* y *Monada* spp., los que estuvieron relacionados a rangos de temperatura entre -1,0 y 0,5 °C y salinidades de 34,20 y 34,40 ups.

La distribución vertical del total del fitoplancton (Fig. 10) fue similar a la del total de los fitoflagelados (Fig. 11).

## Análisis de comunidades

En las figuras 12 a 17 se expresan los resultados obtenidos del índice de diversidad en superficie, el que fluctuó entre 0,19 y 2,10 bits/célula, presentándose rangos de 0,42 y 3,25 bits/célula entre los 10 y 75 m de profundidad. El valor más alto (3,25 bits/célula) se presentó a 50 m ubicado frente a la Isla Elefante con una riqueza de 16 especies y en el Estrecho de Bransfield se observó la menor diversidad (0,19 bits/célula) correspondiéndole una riqueza de 8 especies.

El análisis de cluster (Fig. 18) denotó al 62 % tres agrupamientos importantes. El primero (Grupo I), se caracterizó por estar conformado por aquellas estaciones que presentaron las mayores concentraciones de fitoplancton, ubicándose en el Estrecho de Bransfield y alrededor de Isla Elefante. Las especies que caracterizaron a este grupo fueron *Actinocyclus cholnokyi*, *Chaetoceros gausi*, *Chaetoceros neogracile*, *Coscinodiscus australis*, *C. denarius*, *Halosphaera viridis*, *Rhizosolenia bidens*, *R. cylindrus*, *R. hebetata*, *R. syliformis*, *Fragilaria islandica*, *Fragilariopsis sublinearis*, *Licmophora abbreviata*, *Pseudo-nitzschia prolongatoides*, *Amphidinium acutissimum*, *Oxytoxum* sp., *Protoperidinium longispinum* y *Scrippsiella trochoidea*. El segundo grupo (Grupo II) estuvo representado por estaciones con menores densidades, las que correspondieron a las estaciones ubicadas en la zona central del Estrecho de Bransfield (norte de la Península Antártica). Las especies que caracterizaron al Grupo II fueron *Chaetoceros deflexum*, *Odontella alternans*, *Plagiogramma* y *Porella* sp. Finalmente las concentraciones inferiores de fitoplancton fueron agrupadas en el tercer grupo (Grupo III), ubicadas al norte de Isla Diurville. Las especies que caracterizaron fueron *Actinocyclus octonarius*, *Chaetoceros bulbosum*, *Guinardia* sp., *Leptocylindrus danicus*, *Rhizosolenia antarctica* y *R. polydactyla*.

Las especies más comunes que caracterizaron a los tres grupos con las más altas dominancias fueron fitoflagelados y algunas diatomeas destacando *Monada* spp., *L. marina*, *P. poucheti*, *C. socialis*, *Chaetoceros neglectum* y *Navicula* spp., entre otros.

El análisis de escalación no-métrica multidimensional (Fig. 19), denotó la validez de la selección al 62%, confirmando la formación de tres conglomerados de muestras en función a las concentraciones de fitoplancton. Stress=0,14.

## DISCUSIÓN

El estudio efectuado durante el verano austral de 1998 permitió apreciar, en términos comparativos, el nivel de alteración en la composición, distribución y abundancia del fitoplancton en el Estrecho de Bransfield y alrededores

de la Isla Elefante. La comunidad fitoplancónica estuvo compuesta fundamentalmente por fitoflagelados, con especies comunes de estas áreas, mientras que además de este grupo se presentaron diatomeas registradas por GÓMEZ (1988, 1991) y ANTONIETTI (1989) durante los veranos respectivos.

Generalmente las diatomeas están consideradas como uno de los principales contribuyentes a la biomasa del fitoplancton. Las especies *Chaetoceros socialis* y *Chaetoceros neglectum*, *Navicula* spp. y *Fragilaria striatula* fueron las diatomeas más frecuentes y con elevadas abundancias en el presente muestreo, coincidiendo sólo con lo observado por GÓMEZ (1990) en donde *C. neglectum* fue importante cuantitativamente. Difiere con los resultados de GÓMEZ (1988 y 1991) y ANTONIETTI (1989) en donde este grupo presentó concentraciones considerables destacando en 1988 y 1990 las especies *Nitzschia prolongatoides*, *Nitzschia castracanei*, *Eucampia antarctica* y *Chaetoceros tortissimus*; y en 1991 fueron *Thalassiosira antarctica*, *Pseudo-nitzschia delicatissima* y *Proboscia alata f. inermis*.

Comparando los resultados de la distribución horizontal, con los obtenidos por GÓMEZ (1988, 1991) y ANTONIETTI (1989), indicaron que las concentraciones totales del fitoplancton y fitoflagelados fueron iguales. A nivel superficial en los alrededores de Isla Elefante, las mayores concentraciones de fitoplancton se registraron al norte de ésta, posiblemente por ser una zona que está influenciada por la turbulencia, favoreciendo al mantenimiento de las poblaciones fitoplancónicas en superficie (AVARIA y MUÑOZ 1982).

La distribución espacial de fitoplancton, en líneas generales coinciden con la observada en las operaciones ANTAR I, II y III por GÓMEZ (1988), ANTONIETTI (1990) y GÓMEZ (1991), respectivamente. Estos autores señalaron que las mayores concentraciones de fitoplancton se distribuyeron en superficie y entre los 10 y 50 m de profundidad, favorecidas por las condiciones de estabilidad en que se configura una distribución vertical del fitoplancton, caracterizada por altas densidades de células en profundidad debido al hundimiento de las poblaciones de fitoplancton (AVARIA y MUÑOZ 1982).

Los valores bajos de los índices de diversidad han evidenciado que en general para esta época la flora planctónica se encontró en la primera etapa de la sucesión ecológica por la presencia de especies típicas del verano. Asimismo se observó el incremento de la diversidad con la profundidad, resultados semejantes se obtuvieron en ANTAR I (GÓMEZ 1988), ANTAR II (ANTONIETTI 1990) y ANTAR III (GÓMEZ 1991).

En esta oportunidad hubo mayor riqueza de especies del grupo de diatomeas las cuales estuvieron pobremente representadas a excepción de *C. socialis*, *C. neglectum*, *Fragilaria striatula* y *Navicula* spp. Difiere con los

informes de GÓMEZ (1988 y 1991) y ANTONIETTI (1989), en donde las diatomeas presentaron menor riqueza de especies, pero cuantitativamente registraron mayores densidades entre ellas tenemos a *T. antarctica*, *N. prolongataoides*, *C. tortissimus* y *E. antarctica*. En relación al grupo de dinoflagelados sólo en ANTAR I presentó mayor número de especies, siendo escasos en ANTAR II, III y IX.

Tanto el análisis de cluster como el de escalación no-métrica multidimensional denotaron en forma similar la formación de tres grupos de estaciones en relación a las abundancias de fitoplancton, confirmando la validez de la selección al 62 %.

En general se ha observado que existe una relación directa entre la distribución de las densidades de fitoplancton en la columna y los grupos modales del krill, lo que confirmaría que *Euphasia superba* se alimenta de uno de los principales componentes del plancton (HOOKER et al. 1999).

En relación a la disponibilidad del alimento se observa que en el área del Estrecho de Bransfield donde se registraron menores densidades de fitoplancton se presentaron tallas promedios, menores (34,55 mm) e intermedias (38,18 mm) de krill, a profundidades promedio de 46 y 50 m, respectivamente. En tanto que las altas densidades de fitoplancton, se obtuvieron alrededores de la Isla Elefante, Isla Gibbs e Isla Clarence. A profundidades promedio de 81,25 m, se registraron tallas promedio mayores (42,14 mm).

La dieta alimentaria estaría conformada principalmente por los fitoflagelados, grupo que se distribuyó en el área en estudio, siendo *Monadas* spp., *Leucocryptos marina* y *Phaeocystis pouchetii* especies que presentaron las mayores abundancias, predominaron junto a ellas diatomeas como *Chaetoceros socialis* y *Chaetoceros neglectum*.

## CONCLUSIONES

1. Se han registrado 120 taxa planctónicos: 97 diatomeas, 16 dinoflagelados, 5 fitoflagelados y 2 silicoflagelados; además, 6 ciliados, 4 zooplanctones, y 2 tintíñidos.

2. La contribución del nanoplancton fue la más importante en términos de biomasa fitoplanctónica, dominado por fitoflagelados, de los cuales los más abundantes fueron *Monada* spp., *Leucocryptos marina* y *Phaeocystis pouchetii*.

3. No se han encontrado diferencias significativas del índice de diversidad en superficie y entre 10 y 30 m de profundidad, correspondiendo a una comunidad de la primera etapa de la sucesión ecológica.

4. Los análisis de cluster y MDS denotaron en forma

similar la formación de tres agrupamientos de estaciones en relación a las abundancias de fitoplancton.

5. La disponibilidad del alimento estuvo relacionado directamente con la distribución de las concentraciones del krill.

## Agradecimientos

La autora agradece a la bióloga FLOR CHANG por su participación en el análisis de muestras. A la Dra. NOEMÍ OCHOA por sus sugerencias para la realización del presente trabajo, al Téc. MIGUEL SARMIENTO por la colaboración en la elaboración de los gráficos y a todas las personas que de una u otra forma contribuyeron en la preparación del presente trabajo.

## Referencias

- ANTONIETTI, E. 1989. Microplancton del Estrecho Bransfield verano de 1989 (Perú Antar II). CONAAN 1989. Informe Científico II Expedición del Perú a la Antártida. 9-43p.
- AVARIA, S. y P. MUÑOZ. 1982. Producción actual, biomasa y composición específica del fitoplancton de la bahía de Valparaíso en 1979. Rev. Biol. Mar. Valparaíso, 18(2):127-157.
- BALECH, E. 1958. Plancton de la Campaña Antártica Argentina 1954-1955. Physis XXI N° 60. Buenos Aires, 75-108.
- BALECH, E. 1971. Microplancton de la Campaña Oceanográfica: Productividad III. Rev. Mus. Arg. Cienc. Nat. "Bernardino Rivadavia". Hidrobiol., Tomo IV. Revista N° 3 (1): 1-202.
- BALECH, E. 1973. Segunda Contribución al Conocimiento del Microplancton del mar de Bellinghausen. Contribución del Instituto Antártico Argentino N° 107. 63 pp.
- BALECH, E. y FERRANDO. 1964. Fitoplancton Marino. Ed. Universitaria de Buenos Aires. Eudeba. 196 pp.
- BUCK, K. R. y D. L. GARRISON, 1983. Protists from the ice-edge region of the Weddell Sea. Deep Sea Res. 30: 1 261-1 277.
- CLEVE, P.T. 1873. On diatoms from the Arctic sea. Bihang till Kongliga Svenska Vetenskaps-Akademiens Hanlinger 1 (13): 1-28.
- EL-SAYED, S. Z., 1984. Productivity of the Antarctic waters a reappraisal. Marine Phytoplankton and Productivity. Springer-Verlag, Berlin: 19-34.
- FERREYRA, G. y M. FERRARIO. 1983. Observaciones sistemáticas y autoecológicas sobre diatomeas antárticas. I. *Coscinodiscus asteromphalus* Ehr. Contribución N° 297. Dirección Nacional del Antártico. Instituto Argentino. Buenos Aires. 19 pp.
- FRENGUELLI, J. 1943. Diatomeas de las Orcadas del Sur. Revista del museo de la Plata n.s. Tomo V, Botánica. Inst. del Museo de la Univ. Nacional de la Plata. Tomo V, 221-65.
- FRENGUELLI, J. y H. ORLANDO. 1958. Diatomeas y silicoflagelados del sector Antártico Sudamericano. Instituto Antártico Argentino. Publicación N° 5, 1-191.
- FRENGUELLI, J. 1960. Diatomeas y silicoflagelados recogidas en Tierra Adelie durante las Expediciones Polares Francesas de Paul-Emile Victor (1950-1952). Revue Algologique. Nouvelle Serie, Tomo V, Fasc. 1, 3-48.
- GOMEZ, O. 1988. Microplancton del estrecho Bransfield durante el verano de 1988. Scientific Report of First Peruvian Expedition to Antarctica, National Commission of Antarctic Affairs (CONAAN), 115-170.

- GOMEZ, O. 1991. Microplancton del estrecho Bransfield durante el verano de 1991. Informes Científico de la III Expedición del Perú a la Antártida. Comisión Nacional de Asuntos Antárticos (CONAAN), 109-164.
- HART, T. J. 1934. On the Phytoplankton of the south-west Atlantic and the Bellingshausen Sea. Discovery Rept. 8: 1-268.
- HART, T. J. 1942. Phytoplankton periodicity in Antarctic waters. Discovery Rept. 21: 261-356.
- HASLE, G. R. 1964. *Nitzschia* and *Fragilariopsis* species studied in the light and electron microscopes I. Some marine species of the groups Nizschia and lanceolatae. Skrifter utgitt av det Norske Videnskaps-Akadem i Oslo I. Mat. Natury Klasse New Series № 16, 1-48.
- HASLE, G. R. 1965 a. *Nitzschia* and *Fragilariopsis* species studied en the light and electron microscopes II. The group *Pseudonitzschia*. Skrifter utgitt av det Norske Videnskaps-Akadem i Oslo. I. Mat. Natur. Klasse, New Series № 18, 1-45.
- HASLE, G. R. 1965. b. *Nitzschia* and *Fragilariopsis* species studied in the lighth and electron microscopes III. The genus *Fragilariopsis*. Skrifter utgitt av det Norske Videnskaps Akadem i Oslo. I. Mat. Natur. Klasse, New Series № 21: 1-49.
- HASLE, G. R. y E. SYVERTSEN, 1985. A guide to Marine Planktonic Diatoms International Phytoplankton course 1-21 July 1985. Stazione Zoologica Naples. 57pp.
- HENDEY, N. I. 1937. The plankton diatoms of the Southern Seas. Discovery Reports Vol. XVI, 151-364.
- HOOKER, Y., J. PELLÓN, J. QUIÑONES y M. BUSTAMANTE. 1998. Características biológicas del krill (*Euphausia superba*) durante el crucero BIC Humboldt 9801. Perú ANTAR IX. Inf. Inst. Mar Perú: 61-70.
- MANGIN, E. 1957. Premier Inventaire des Diatomées de la Terre Adelie Antarctique. Espèces nouvelles. Revue Algologique, n.s. Tome III, Facs. 3, 34 pp.
- MARTINEZ MACHIAVELLO J. C. 1972. Estudio diatomológico del mar de la flota de Puerto Paraíso y observaciones en el Mar de Bellingshausen. Contribución del Instituto Antártico Argentino № 155, 103 pp.
- MEDLIN, L. K. y J. PRIDDLE. 1990. Polar marine diatoms. British Antarctic Survey Natural Environment Research Council, High Cross. Madingley Road. Cambridge. CB3 0ET. UK, 214 pp.
- MEYER, C. R. M. 1966. Contribución al estudio del fitoplancton del paso de Drake (Recolektado durante el verano 1960-61). Cuaderno I - Ciencias del Mar. Univ. Católica de Valp. Chile, 25 pp.
- PRIDDLE, J., I. HAWES, J. C. ELLIS-EVANS y T. J. SMITH. 1986. Antarctic aquatic ecosystems as habitats for phytoplankton. Biol. Rev. 61: 199-238.
- PRIDDLE, J. y G. FRIXELL. 1985. Handbook of the common plankton diatoms of the Southern Ocean: Centrales except genus *Thalassiosira*. British Antarctic Survey, 159 pp.
- SMAYDA, T. 1958. Biogeographical studies of marine phytoplankton. Oikos 9: II 1958, 85 pp.
- SYVERTSEN, E. 1977. *Thalassiosira rotula* and *T. gravida*: ecology and morphology. Simonsen R. (editor). Fourth Symposium on Recent and Fossil Marine Diatoms. Oslo August 30-September 3, 1976. Proceedings 1977. Band Beiheft 54 Zur Nova Hedwigia. VIII, 414 pp.
- SYVERTSEN, E. and G. R. HASLE. 1983. The diatom genus *Eucampia*: morphology and taxonomy. Bacillaria 6, 169-210.
- UNESCO. 1978. Phytoplankton manual Monogr. Oceanogr. Methodology 6-337.
- UTERMÖHL, H. 1958. Zur Vewollkommung der quantitativen phytoplankton. Methodik mitt int. Ver. Limnol., 9: 1-39.











ESTACION LATITUD (S) LONGITUD (W) PROFUNDIDAD (m)	7 63°05.4 58°48.7							8 63°13.1 58°36.5							9 62°20.5 58°32.8							10 62°38.0 58°09.8							11 62°54.3 57°49.4							12 63°09.5 57°29.2						
	0	10	20	30	50	75	0	10	20	30	50	75	0	10	20	30	50	75	0	10	20	30	50	75	0	10	20	30	50	75	0	10	20	30	50	75						
<i>Trichotaxon reimboldi</i>	0	0	0	0	0	0	0	0	0	1	2	0	0	0	0	0	0	0	0	2	0	0	0	1	0	0	1	0	0	0	0	0	1									
<i>Tropidoneis antarctica</i>	0	0	0	0	0	0	0	0	0	0	0	0	0	4	0	0	0	0	0	0	0	0	0	0	0	0	0	0	0	0	0	0	0									
<b>DINOFLAGELADOS</b>																																										
<i>Amphidinium acutissimum</i>	0	0	0	0	0	0	0	0	0	0	0	0	0	0	0	0	0	0	0	0	0	0	0	0	0	0	0	0	0	0	0	0	0	0								
<i>Amphidinium sp.</i>	0	0	0	0	0	0	0	0	0	0	0	0	0	0	1	0	0	0	0	0	0	0	0	0	0	0	0	0	0	0	0	0	0	0								
<i>Ceratium furca</i>	0	0	0	0	0	0	0	0	0	0	0	0	0	0	0	0	0	0	0	0	0	0	0	0	0	0	0	0	0	0	0	0	0	0								
<i>Ceratium fusus</i>	0	0	0	0	0	0	0	0	0	0	0	0	0	0	0	0	0	0	0	0	0	0	0	0	0	0	0	0	0	0	0	0	0	0								
<i>Gyrodinium lachryma</i>	0	1	2	3	0	0	2	2	0	0	10	26	4	1	0	0	3	6	11	3	2	0	1	3	1	1	2	0	0	0	0	0	1									
<i>Gymnodinium lohmanni</i>	1	0	0	0	0	0	0	0	0	0	1	0	4	2	0	1	0	0	1	3	0	1	2	0	1	2	0	0	0	0	0	0	0									
<i>Gymnodinium sp.</i>	0	0	0	0	8	0	0	0	0	16	0	0	0	6	0	16	0	0	0	1	0	0	80	0	0	0	0	0	0	0	0	0	0									
<i>Oxytoxum sp.</i>	0	0	0	0	0	0	0	0	0	0	0	0	0	0	0	0	0	0	0	0	0	0	0	0	0	0	0	0	0	0	0	0	0	0								
<i>Porella sp.</i>	0	0	0	0	0	0	0	0	0	0	0	0	0	0	0	0	0	0	0	0	0	0	0	0	0	0	0	0	0	0	0	0	0	0								
<i>Pronciliuca spinifera</i>	0	0	0	0	0	0	0	0	0	0	0	0	0	0	0	0	0	0	0	0	0	0	0	0	0	0	0	0	0	0	0	0	0	0								
<i>Pronciliuca sp.</i>	0	0	0	0	0	0	0	0	0	0	0	0	0	0	0	0	0	0	0	0	0	0	0	0	0	0	0	0	0	0	0	0	0	0								
<i>Proncentrum micans</i>	0	0	0	0	2	0	0	0	0	0	0	0	0	0	0	0	0	0	0	0	0	0	0	0	0	0	0	0	0	0	0	0	0	0								
<i>Protoperidinium defectum</i>	0	0	0	0	0	0	0	0	0	0	0	0	0	0	0	0	0	0	0	0	0	0	0	0	0	0	0	0	0	0	0	0	0	0								
<i>Protoperidinium longispinum</i>	0	0	0	0	0	0	0	0	0	0	0	0	0	0	0	0	0	0	0	0	0	0	0	0	0	0	0	0	0	0	0	0	0	0								
<i>Protoperidinium spp.</i>	0	0	0	0	0	0	0	0	0	0	0	0	0	0	0	0	0	0	0	0	0	0	0	0	0	0	0	0	0	0	0	0	0	1								
<i>Scrippiella trochoidea</i>	0	0	0	0	0	0	0	0	0	0	0	0	0	0	0	0	0	0	0	0	0	0	0	0	0	0	0	0	0	0	0	0	0	0								
<b>SILICOFLAGELADOS</b>																																										
<i>Dictyocha fibula</i>	0	0	0	0	0	0	0	0	0	0	0	0	0	0	0	0	0	0	0	0	0	0	0	0	0	0	0	0	0	0	0	0	0	0	0							
<i>Dictyocha speculum</i>	0	0	0	0	0	0	0	0	0	0	0	0	0	1	0	0	0	0	0	0	0	0	0	0	0	0	0	0	0	0	0	0	0	0	6							
<b>FITOFAGELADOS</b>																																										
<i>Leucocryptis marina</i>	2325	11450	7375	11025	3700	50	7825	16875	2425	4900	9300	425	16	13750	5025	3725	725	5125	35100	16600	26825	41125	1875	750	3400	975	4375	2275	5125	700	25	575	2575	4875	1350	825						
<i>Phaeocystis globosa</i>	0	0	0	0	0	0	0	0	0	0	0	0	0	0	0	0	0	0	0	0	0	0	0	0	0	0	0	0	0	0	0	0	0	0	0							
<i>Phaeocystis pouchetii</i>	300	0	675	0	0	0	0	0	650	0	0	0	0	0	0	0	0	0	0	0	0	0	0	0	0	0	0	0	0	0	0	0	0	0	100							
<i>Fitoflagelados spp.</i>	0	0	0	0	0	0	6	0	1	0	0	0	3	0	0	0	0	0	0	0	1	0	0	0	0	0	0	0	0	0	0	0	0	0	0							
<i>Monada spp.</i>	2530	3550	2725	4925	3175	50	3975	4425	3075	5175	5125	700	2050	7225	11075	1525	650	4950	15250	7350	11525	4850	5075	2050	8375	2375	5350	1975	4775	1300	1325	3800	5175	1625	1225	550						
<b>CILIADOS</b>																																										
<i>Lohmannellia oviformis</i>	0	0	0	2	3	1	0	0	0	0	0	1	0	1	1	5	3	0	0	0	0	1	0	5	0	1	0	4	0	1	0	0	0	0	0							
<i>Strombidium conicum</i>	1	2	1	0	3	0	0	3	0	1	0	0	2	7	7	0	0	6	7	1	9	2	3	4	6	0	1	2	1	0	4	1	2	0	0							
<i>Strombidium conicoides</i>	0	0	0	0	1	7	4	1	0	0	2	1	0	0	2	2	7	0	0	3	2	0	2	1	0	2	0	0	0	1	0	0	0	0								
<i>Strombidium strobila</i>	0	2	0	0	0	0	0	0	0	0	0	0	0	0	0	0	0	0	0	0	0	0	0	1	1	0	0	0	0	0	0	0	0	0								
<i>Tiarina fusus</i>	0	0	0	0	0	0	0	0	0	0	0	0	0	0	0	0	0	0	0	0	0	0	0	0	0	0	0	0	0	0	0	0	0	0								
Ciliado no determinado	0	0	0	0	0	0	0	0	0	0	0	0	0	0	0	0	0	0	0	0	0	0	0	0	0	0	0	0	0	0	0	0	0	0	0							
<b>TINTINIDOS</b>																																										
<i>Tintinnido sp.</i>	0	0	0	0	0	0	0	0	0	0	0	0	7	0	0	0	0	0	0	0	0	0	0	0	0	0	0	0	0	0	0	0	0	0	0							
<i>Favella sp.</i>	0	0	0	0	0	0	0	0	0	0	0	0	0	0	0	0	0	0	0	0	0	0	0	0	0	0	0	0	0	0	0	0	0	0	0							
<b>OTROS</b>																																										
Apendicularia	0	0	0	0	0	0	0	0	0	0	0	0	0	0	0	0	0	0	0	0	0	0	0	0	0	0	0	0	0	0	0	0	0	0	0							
Copépodo	0	0	0	0	0	0	0	0	0	0	0	0	0	0	0	0	0	0	0	0	0	0	0	0	0	0	0	0	0	0	0	0	0	0	0							
Foraminífero	0	0	0	0	0	0	0	0	0	0	0	0	0	1	0	0	0	0	0	0	0	0	0	0	0	0	0	0	0	0	0	0	0	0	0							
Nauplio	0	0	0	0	0	0	0	0	0	0	0	0	0	0	0	0	0	0	0	0	0	0	0	0	0	0	0	0	0	0	0	0	0	0	0							
<b>DETРИTUS (+)</b>	3	2	0	0	1	0	1	0	0	2	0	1	0	2	1	0	0	2	2	2	2	0	0	2	3	1	1	0	2	0	4	0	1	2	0	1						





ESTACION LATITUD (S) LONGITUD (W) PROFUNDIDAD (m)	13 62°07.6 57°32.5							14 62°22.1 57°10.0							15 62°32.9 56°50.5							16 62°51.5 56°35.6							17 61°30.9 57°02.9								
	0	10	20	30	50	75	0	10	20	30	50	75	0	10	20	30	50	75	0	10	20	30	50	75	0	10	20	30	50	75							
<i>Thalassionema nitzschiaoides</i>	0	0	0	0	0	0	0	0	0	0	0	0	0	0	0	0	0	0	0	0	0	0	0	0	0	0	0	0	0	0	0	0	0	0			
<i>Trichotrichon reimboldi</i>	0	0	0	0	0	0	0	0	0	0	0	0	1	0	0	0	0	0	2	1	0	4	0	0	0	0	0	0	0	0	0	0	0	0			
<i>Tropidoneis antarctica</i>	0	0	0	0	0	0	0	0	0	0	0	0	0	0	0	0	0	0	0	0	0	0	0	0	0	0	0	0	0	0	0	0	0	0			
<b>DINOFLAGELADOS</b>																																					
<i>Amphidinium acutissimum</i>	0	0	0	0	0	0	0	0	0	0	0	0	1	0	0	0	0	0	0	0	0	0	0	0	0	0	0	0	0	0	0	0	0	0	0		
<i>Amphidinium sp.</i>	0	0	0	0	0	0	0	0	0	0	0	0	0	0	0	0	0	0	0	0	0	0	0	0	0	0	0	0	0	0	0	0	0	0	0		
<i>Ceratium furca</i>	0	0	0	0	0	0	0	0	0	0	0	0	0	0	0	0	0	0	0	0	0	0	0	0	0	0	0	0	0	0	0	0	0	0	0		
<i>Ceratium fusus</i>	0	0	0	0	0	0	0	0	0	0	0	0	1	0	0	0	0	0	0	0	0	0	0	0	0	0	0	0	0	0	0	0	0	0	0		
<i>Gyrodinium lachryma</i>	24	8	19	7	0	2	4	12	12	4	1	0	0	4	1	3	7	3	0	0	4	3	1	0	15	8	17	0	1	0	0	0	0	0	0		
<i>Gymnodinium lohmanni</i>	0	0	0	5	0	1	0	0	0	0	0	0	2	2	5	3	0	0	5	0	0	0	1	0	0	0	0	0	0	0	0	0	0	32	0		
<i>Gymnodinium sp.</i>	0	0	0	0	0	0	0	0	0	0	0	0	0	32	0	0	0	0	0	0	0	0	8	0	0	0	0	0	0	0	0	0	0	0	0		
<i>Oxytoxum sp.</i>	0	0	0	0	0	0	0	1	0	0	0	0	0	0	0	0	0	0	0	0	0	0	0	0	0	0	0	0	0	0	0	0	0	0	0		
<i>Porella sp.</i>	0	0	0	0	0	0	0	0	0	0	0	0	0	0	0	0	0	0	0	0	0	0	0	0	0	0	0	0	0	0	0	0	0	0	0		
<i>Prorocentilus spinifera</i>	0	0	0	0	0	0	0	0	0	0	0	0	0	0	0	0	0	0	0	0	0	0	0	0	0	0	0	0	0	0	0	0	0	0	0		
<i>Prorocentilus sp.</i>	0	0	0	0	0	0	0	0	0	0	0	0	0	0	0	0	0	0	0	0	0	0	0	0	0	0	0	0	0	0	0	0	0	0	0		
<i>Prorocentrum micans</i>	0	0	0	0	0	0	0	0	0	0	0	0	0	0	0	0	0	0	0	0	0	0	0	0	0	0	0	0	0	0	0	0	0	0	0		
<i>Protoperidinium defectum</i>	0	0	0	0	0	0	0	0	0	0	0	0	0	0	0	0	0	0	0	0	0	0	0	0	0	0	0	0	0	0	0	0	0	0	0		
<i>Protoperidinium longispinum</i>	0	0	0	0	0	0	0	0	0	0	0	0	0	0	0	0	0	0	0	0	0	0	0	0	0	0	0	0	0	0	0	0	0	0	0		
<i>Protoperidinium spp.</i>	0	0	0	0	0	0	0	0	0	0	0	0	0	0	0	0	0	0	0	0	0	0	0	0	0	0	0	0	0	0	0	0	0	0	0		
<i>Scrippsiella trochidea</i>	0	0	0	0	0	0	0	0	0	0	0	0	0	0	0	0	0	0	0	0	0	0	0	0	0	0	0	0	0	0	0	0	0	0	0		
<b>SILICOFLAGELADOS</b>																																					
<i>Dictyocha fibula</i>	0	0	0	0	0	0	0	0	0	0	0	0	0	0	0	0	0	0	0	0	0	0	0	0	0	0	0	0	0	0	0	0	0	0	0		
<i>Dictyocha speculum</i>	0	0	0	0	0	0	0	0	0	0	0	0	1	0	0	1	0	0	0	1	2	0	0	0	1	0	0	0	0	0	0	0	0	0	0		
<b>FITOFAGELADOS</b>																																					
<i>Leucocryptis marina</i>	20850	5025	6375	5200	900	3225	18150	19125	2800	725	700	0	3825	12925	4145	2450	450	125	625	100	250	1625	275	475	7600	36625	32625	2875	1075	700							
<i>Phaeocystis globosa</i>	1	0	0	0	0	0	0	0	0	0	0	0	0	0	0	0	0	0	0	0	0	0	0	0	0	0	0	0	0	0	0	0	0	0	0	0	
<i>Phaeocystis pouchetii</i>	1	0	0	0	0	0	0	0	0	0	0	0	0	0	0	0	0	0	0	0	3150	0	825	0	0	0	37500	0	0	0	0	0	0	0			
Fitoflagelados	1	0	0	0	0	0	0	0	0	0	0	0	0	0	0	0	0	0	0	0	3	0	0	0	0	0	0	0	0	0	0	0	0	0	0	0	
<i>Monada spp.</i>	5250	4200	9700	3400	1300	2550	14550	4925	7700	2650	1300	0	4675	12600	2325	2525	700	225	1375	4400	1975	1625	750	800	21400	6775	15650	2625	1375	1375							
<b>CILIADOS</b>																																					
<i>Lohmanniella oviformis</i>	0	2	7	3	0	0	0	0	1	2	9	2	1	0	0	1	0	1	0	0	0	2	0	1	0	0	0	0	0	0	0	0	0	3	3		
<i>Strombidium conicoides</i>	1	3	0	1	0	1	0	2	1	2	4	10	0	0	0	0	1	1	1	0	0	0	1	0	0	0	0	0	0	0	0	0	0	1	0		
<i>Strombidium strobila</i>	0	0	0	0	0	0	0	0	0	0	0	0	0	0	0	0	0	0	0	0	0	0	0	0	0	0	0	0	0	0	0	0	0	0	0	0	
<i>Tiarina fusus</i>	0	0	0	0	0	0	0	0	0	0	0	0	1	0	0	0	0	0	0	0	0	0	0	0	0	0	0	0	0	0	0	0	0	0	0	0	
Ciliado no determinado	0	0	6	0	0	0	0	0	0	0	0	0	0	0	0	0	0	0	0	0	0	0	0	0	0	0	0	0	0	0	0	0	0	0	0	0	
<b>TINTINIDOS</b>																																					
<i>Favella sp.</i>	0	0	0	0	0	0	0	0	0	0	0	0	0	0	0	0	0	0	0	0	0	0	0	0	0	0	0	0	0	0	0	0	0	0	0	0	
<i>Eutintinnus sp.</i>	0	0	0	0	0	1	0	0	0	0	0	0	0	0	0	0	0	0	0	0	0	0	0	0	0	0	0	0	0	0	0	0	0	0	0	0	
<b>OTROS</b>																																					
Apendicularia	0	0	0	0	0	0	0	0	0	0	0	0	0	0	0	0	0	0	0	0	0	0	0	0	0	0	0	0	0	0	0	0	0	0	0	0	
Copépodo	0	0	0	0	0	0	0	0	0	0	0	0	0	0	0	0	0	0	0	0	0	0	0	0	0	0	0	0	0	0	0	0	0	0	0	0	
Foraminífero	0	0	0	0	0	0	0	0	0	0	0	0	0	0	0	0	0	0	0	0	0	0	0	0	0	0	0	0	0	0	0	0	0	0	0	0	
Nauplio	0	0	0	0	0	0	0	0	0	0	0	0	0	0	0	0	0	0	0	0	0	0	0	0	0	0	0	0	0	0	0	0	0	0	0	0	
<b>DETРИTUS (+)</b>	0	0	0	2	0	2	2	2	0	0	0	0	3	1	0	0	0	0	1	0	1	1	0	0	0	3	2	0	0	0	1	0	0	0	0	0	













TABLA 1 (continuación). Análisis cuantitativo de fitoplancton (Nº cel/50 mL) por estaciones, Crucero BIC Humboldt 9801, Perú ANTAR IX.

ESTACION	31							32							33							34							35						
	LATITUD (S)	61°36.8	53°27.6	0	10	20	30	50	75	0	10	20	30	50	75	0	10	20	30	50	75	0	10	20	30	50	75	0	10	20	30	50	75		
<b>DIATOMEAS CENTRALES</b>																																			
<i>Actinocyclus actinochilus</i>	0	0	0	0	0	0	0	0	0	0	0	0	0	0	0	0	0	0	0	0	0	0	0	0	0	0	0	0	0	0	0	0			
<i>Actinocyclus choibokyi</i>	0	0	0	0	0	0	0	0	0	0	0	0	0	0	0	0	0	0	0	0	0	0	0	0	0	0	0	0	0	0	0	0			
<i>Actinocyclus octonarius</i>	0	0	0	0	0	0	0	0	0	0	0	0	0	0	0	0	0	0	0	0	0	0	0	0	0	0	0	0	0	0	0	0			
<i>Actinocyclus sp.</i>	0	0	0	0	0	0	0	0	0	0	0	0	0	0	0	0	0	0	0	0	0	0	0	0	0	0	0	0	0	0	0	0			
<i>Actinopychus sp.</i>	0	0	0	0	0	0	0	0	0	0	0	0	0	0	0	0	0	0	0	0	0	0	0	0	0	0	0	0	0	0	0	0			
<i>Bacillastrum hyalinum</i>	0	0	0	0	0	0	0	0	0	0	0	0	0	0	0	0	0	0	0	0	0	0	0	0	0	0	0	0	0	0	0	0			
<i>Bacillastrum sp.</i>	0	0	0	0	0	0	0	0	0	0	0	0	0	0	0	0	0	0	0	0	0	0	0	0	0	0	0	0	0	0	0	0			
<i>Chaetoceros atlanticus</i>	0	0	0	0	0	0	0	0	0	0	0	0	0	0	0	0	0	0	0	0	0	0	0	0	0	0	0	0	0	0	0	0			
<i>Chaetoceros bulbosum</i>	0	0	0	0	0	0	0	0	0	0	0	0	0	0	0	0	0	0	0	0	0	0	0	0	0	0	0	0	0	0	0	0			
<i>Chaetoceros concavicornis</i>	0	0	0	0	0	0	0	0	0	0	0	0	0	0	0	0	0	0	0	0	0	0	0	0	0	0	0	0	0	0	0	0			
<i>Chaetoceros convolutus</i>	4	0	0	0	0	0	0	0	0	0	0	0	0	0	0	0	0	0	0	0	0	0	0	0	0	0	0	0	0	0	0	4			
<i>Chaetoceros criophilum</i>	0	3	0	0	0	0	0	0	0	0	0	0	0	0	0	0	0	0	0	0	0	0	0	0	0	0	0	0	0	0	0	0			
<i>Chaetoceros curvisetus</i>	0	0	0	0	0	0	0	0	0	12	0	0	0	0	0	0	0	0	0	0	0	0	0	0	0	0	0	0	0	0	0	0			
<i>Chaetoceros deflexum</i>	0	0	0	0	0	0	0	0	0	0	0	0	0	0	0	0	0	0	0	0	0	0	0	0	0	0	0	0	0	0	0	0			
<i>Chaetoceros dichaeta</i>	0	0	0	0	0	0	0	0	0	0	0	0	0	0	0	0	0	0	0	0	0	0	0	0	0	0	0	0	0	0	0	0			
<i>Chaetoceros flexuosum</i>	0	0	0	0	0	0	0	0	0	0	0	0	0	0	0	0	0	0	0	0	0	0	0	0	0	0	0	0	0	0	0	0			
<i>Chaetoceros gausii</i>	0	0	0	0	0	0	0	0	0	0	0	0	0	0	0	0	0	0	0	0	0	0	0	0	0	0	0	0	0	0	0	0			
<i>Chaetoceros neglectum</i>	0	0	0	0	28	0	0	0	0	4	0	0	0	0	0	0	0	0	0	0	0	0	0	0	0	0	0	0	0	0	16	100			
<i>Chaetoceros neogracile</i>	0	0	0	0	0	0	0	0	0	0	0	0	0	0	0	0	0	0	0	0	0	0	0	0	0	0	0	0	0	0	0	21			
<i>Chaetoceros pendulus</i>	0	0	0	0	0	0	0	0	0	0	0	0	0	0	0	0	0	0	0	0	0	0	0	0	0	0	0	0	0	0	0	2			
<i>Chaetoceros socialis</i>	0	0	0	0	0	0	0	5	0	0	0	0	0	0	0	0	0	0	0	0	0	0	0	0	0	0	0	0	0	0	0	0			
<i>Chaetoceros tortisimus</i>	6	0	0	0	0	0	0	0	0	9	0	0	0	0	0	0	0	0	0	0	0	0	0	0	0	0	0	0	0	0	0	0			
<i>Chaetoceros spp.</i>	0	0	0	0	0	31	0	0	0	0	0	0	0	0	0	0	5	0	0	0	0	0	0	0	0	0	0	0	0	0	0	0			
<i>Cerithium cripophilum</i>	0	3	1	5	1	6	0	3	1	6	2	0	1	7	4	13	1	4	12	12	8	9	8	5	21	44	26	41	56	30	0				
<i>Coscinodiscus australis</i>	0	0	0	0	0	0	0	0	0	0	0	0	0	0	0	0	0	0	0	0	0	0	0	0	0	0	0	0	0	0	0	0			
<i>Coscinodiscus bouveti</i>	0	0	0	0	0	0	0	0	0	0	0	0	0	0	0	0	0	0	0	0	0	0	0	0	0	0	0	0	0	0	0	0			
<i>Coscinodiscus denarius</i>	0	0	0	0	0	0	0	0	0	0	0	0	0	0	0	0	0	1	0	0	0	0	0	0	0	0	0	0	0	0	0	0			
<i>Coscinodiscus nitidus</i>	0	0	0	0	0	0	0	0	0	0	0	0	0	0	0	0	0	0	0	0	0	0	0	0	0	0	0	0	0	0	0	0			
<i>Coscinodiscus oculoides</i>	0	0	0	0	0	0	0	0	1	0	0	0	0	0	0	0	0	0	0	0	0	0	0	0	0	0	0	0	0	0	0	0			
<i>Coscinodiscus oculus</i>	0	0	0	0	0	0	1	0	0	0	0	0	0	0	0	0	0	0	0	0	0	0	0	0	0	0	0	0	0	0	0	0			
<i>Coscinodiscus perforatus</i>	0	0	0	0	0	0	0	0	0	0	0	0	0	0	0	0	0	0	0	0	0	0	0	0	0	0	0	0	0	0	0	0			
<i>Coxinodiscus spp.</i>	0	0	0	0	0	0	0	0	0	0	0	0	0	0	0	0	1	0	0	0	0	0	0	0	1	0	0	0	0	0	0	0			
<i>Cyclotella sp.</i>	0	0	0	0	0	0	0	0	0	0	0	0	0	0	0	0	0	1	0	0	0	0	0	0	0	0	0	0	0	0	0	0			
<i>Dactyliosolen mediterraneus</i>	0	0	0	0	0	0	0	0	0	0	0	0	0	0	0	0	0	0	0	0	0	0	0	0	0	0	0	0	0	0	0	0			
<i>Eucampia antarctica</i>	0	0	0	0	0	0	0	0	0	0	0	0	0	0	0	0	0	0	0	0	0	0	0	0	0	0	0	0	0	0	0	0			
<i>Guinardia sp.</i>	0	0	0	0	0	0	0	0	0	0	0	0	0	0	0	0	0	0	0	0	0	0	0	0	0	0	0	0	0	0	0	0			
<i>Halostrphaera viridis</i>	0	0	0	0	0	0	0	0	0	0	0	0	0	0	0	0	0	0	0	0	0	0	0	0	0	0	0	0	0	0	0	0			
<i>Lepiocylindrus danicus</i>	0	0	0	0	0	0	0	0	0	0	0	0	0	0	0	0	0	0	0	0	0	0	0	0	0	0	0	0	0	0	0	0			
<i>Lepiocylindrus mediterraneus</i>	0	0	0	0	0	0	0	0	0	0	0	0	0	0	0	0	0	0	0	0	0	0	0	0	0	0	0	0	0	0	0	0			
<i>Odontella alternans</i>	0	0	0	0	0	0	0	0	0	0	0	0	0	0	0	0	0	0	0	0	0	0	0	0	0	0	0	0	0	0	0	0			
<i>Odontella weissflogii</i>	0	0	0	0	0	0	0	0	0	0	0	0	0	0	0	0	0	0	0	0	0	0	0	0	0	0	0	0	0	0	0	0			
<i>Proboscia alata</i>	0	0	0	0	0	0	0	0	0	0	0	0	0	0	0	0	0	0	0	0	0	0	0	0	1	0	0	0	0	0	0	0			
<i>Proboscia alata f. gracillima</i>	0	0	0	0	0	0	0	0	0	0	0	0	0	0	0	0	0	0	0	0	0	0	0	0	0	0	0	0	0	0	0	0			
<i>Rhizosolenia antarctica</i>	0	0	0	0	0	0	0	0	0	0	0	0	0	0	0	0	0	0	0	0	0	0	0	0	0	0	0	0	0	0	0	0			
<i>Rhizosolenia bidentis</i>	0	0	0	0	0	0	0	0	0	0	0	0	0	0	0	0	0	0	0	0	0	0	0	0	0	0	0	0	0	0	0	0			

















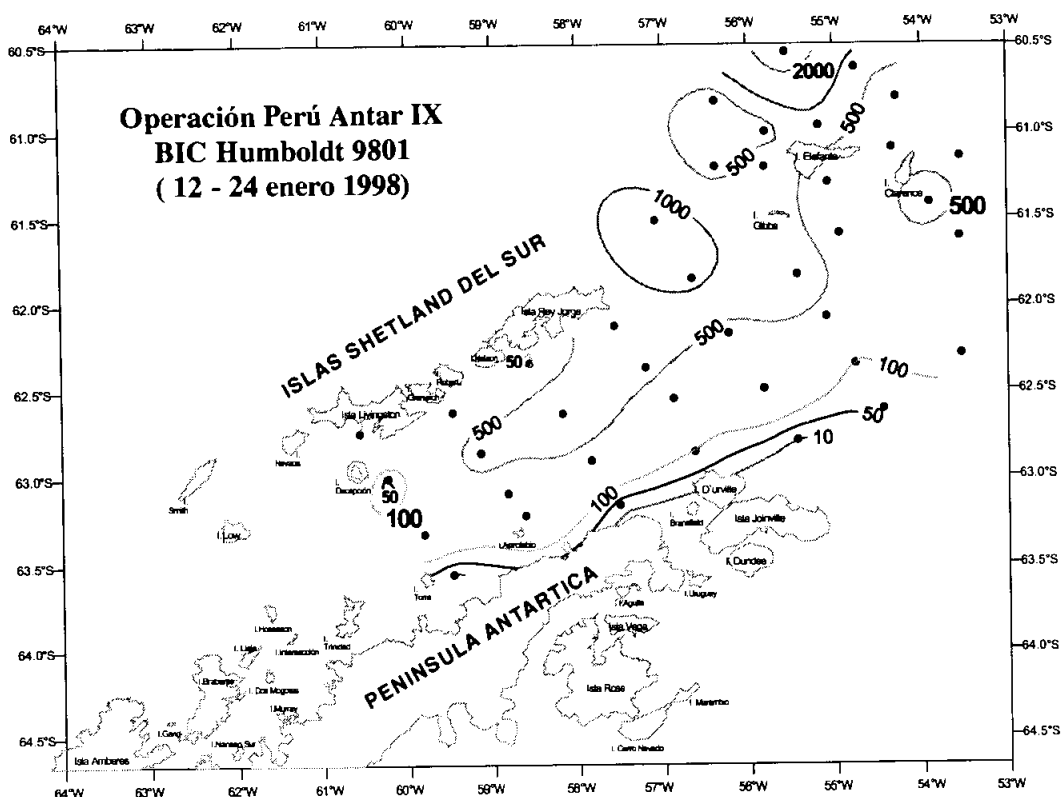


FIGURA 2. Distribución de fitoplancton en superficie Nº cel/mL.

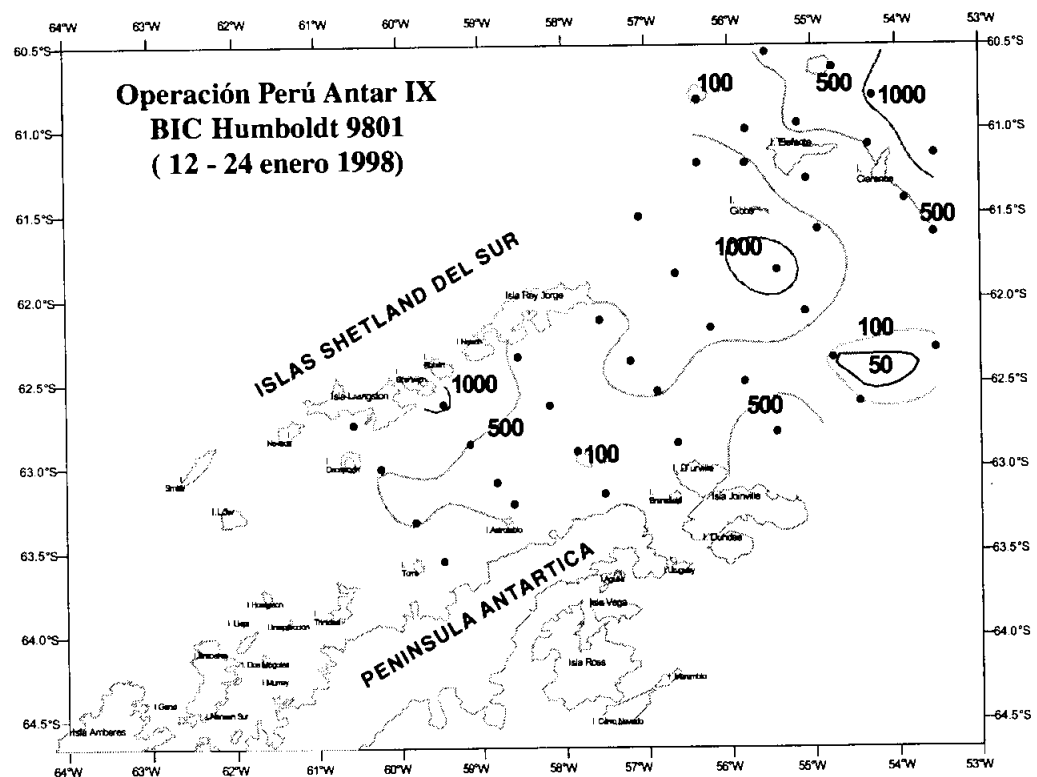


FIGURA 3. Distribución de fitoplancton a 10 m de profundidad Nº cel/mL.

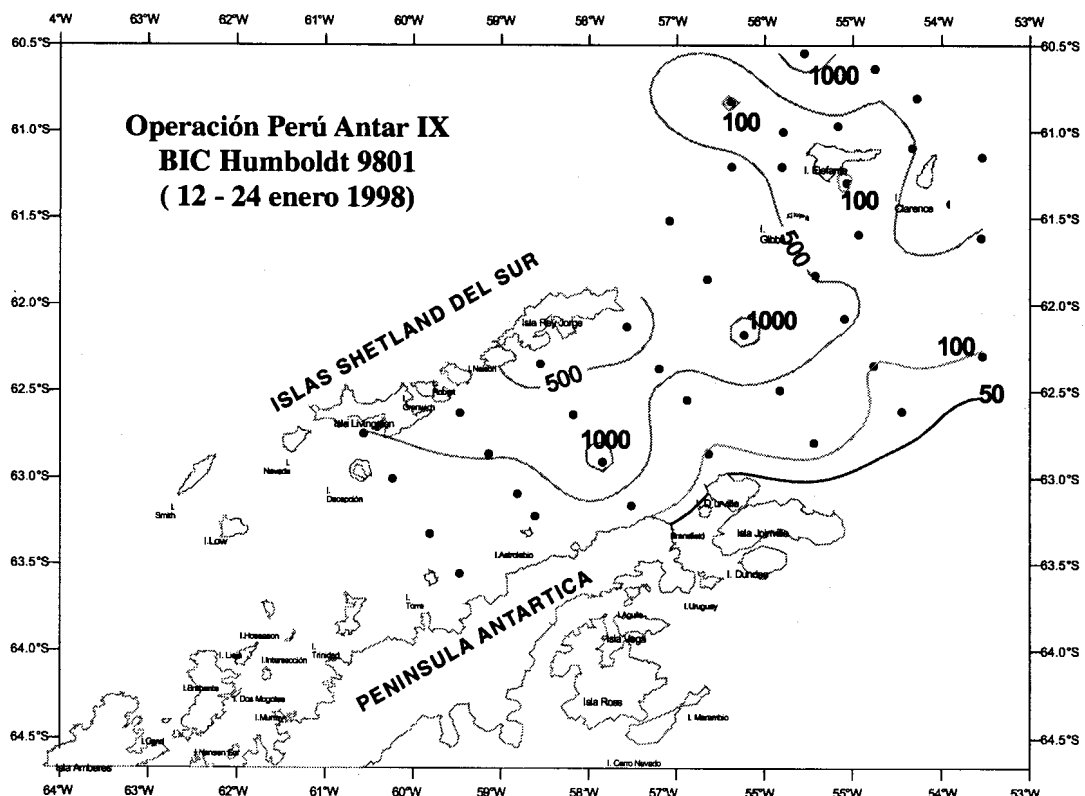


FIGURA 4. Distribución de fitoplancton a 20 m de profundidad Nº cel/mL.

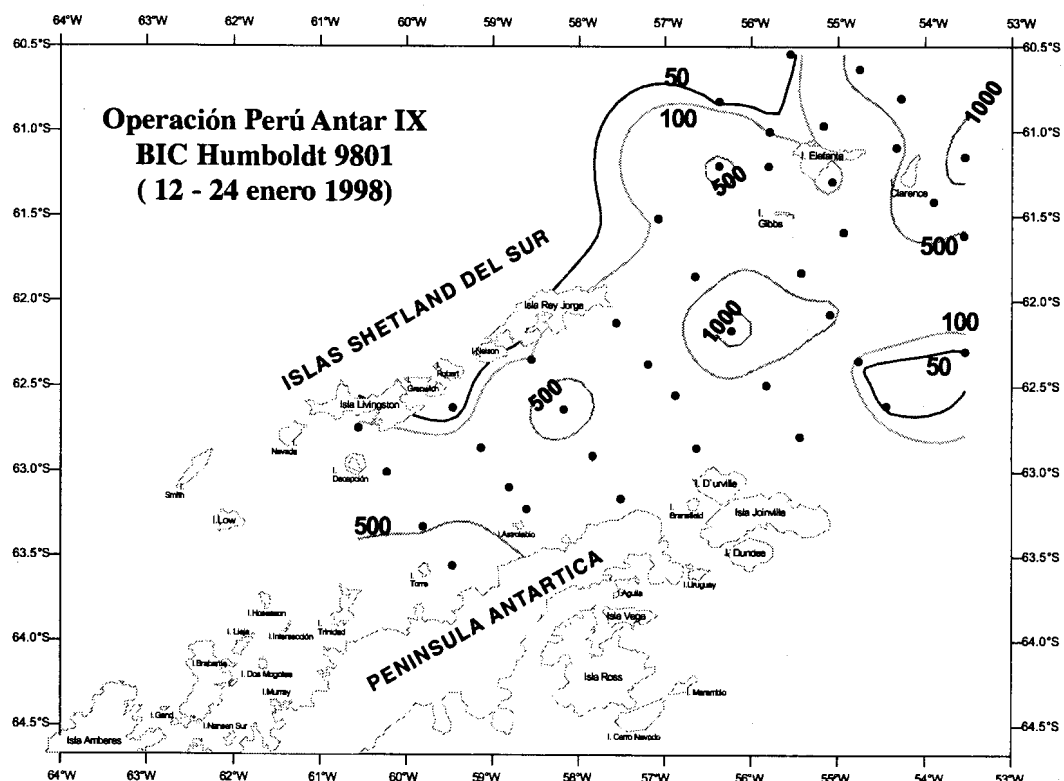


FIGURA 5. Distribución de fitoplancton en superficie a 30 m de profundidad Nº cel/mL.

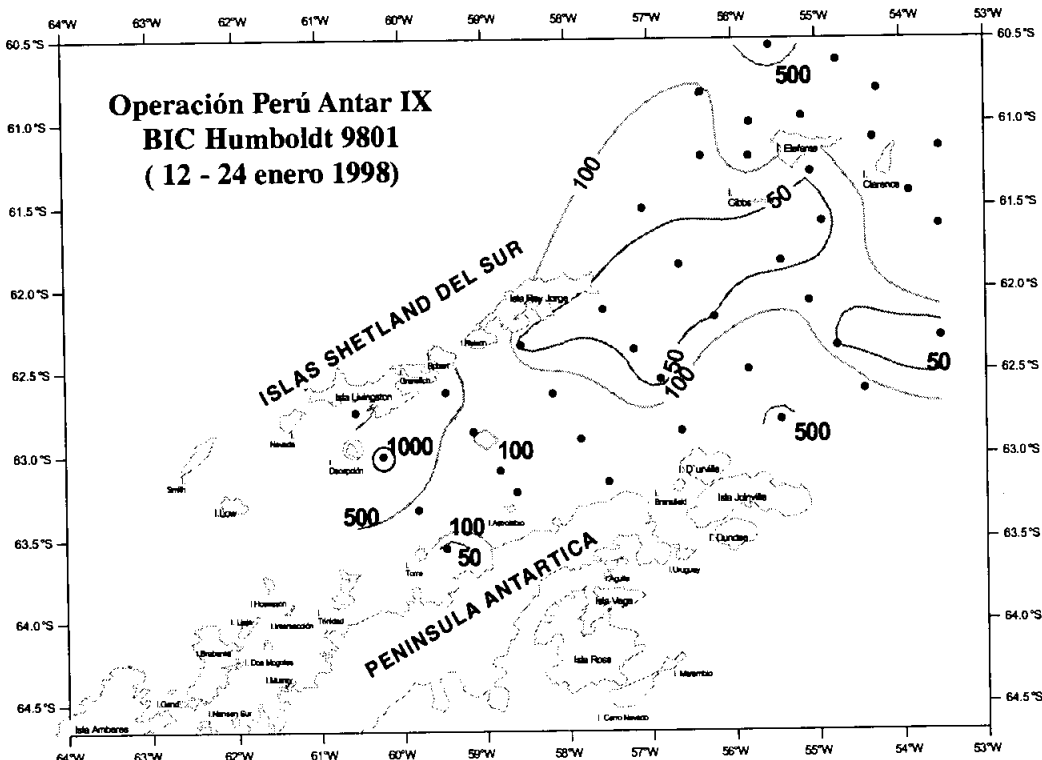


FIGURA 6. Distribución de fitoplancton a 50 m de profundidad Nº cel/mL.

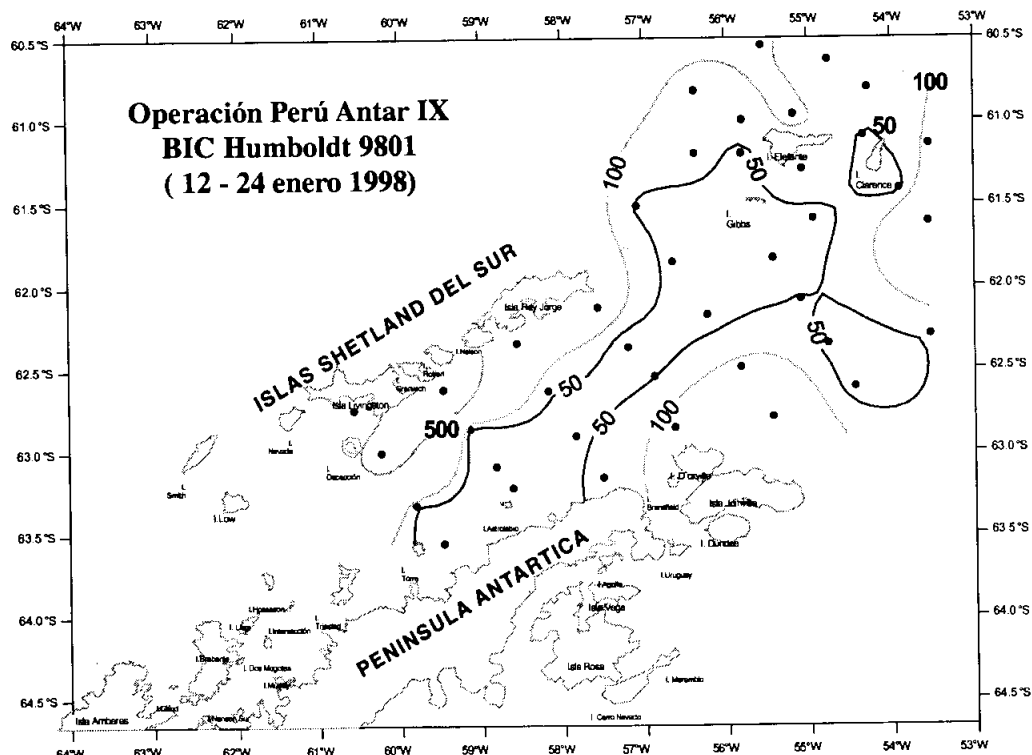


FIGURA 7. Distribución de fitoplancton a 75 m de profundidad Nº cel/mL.

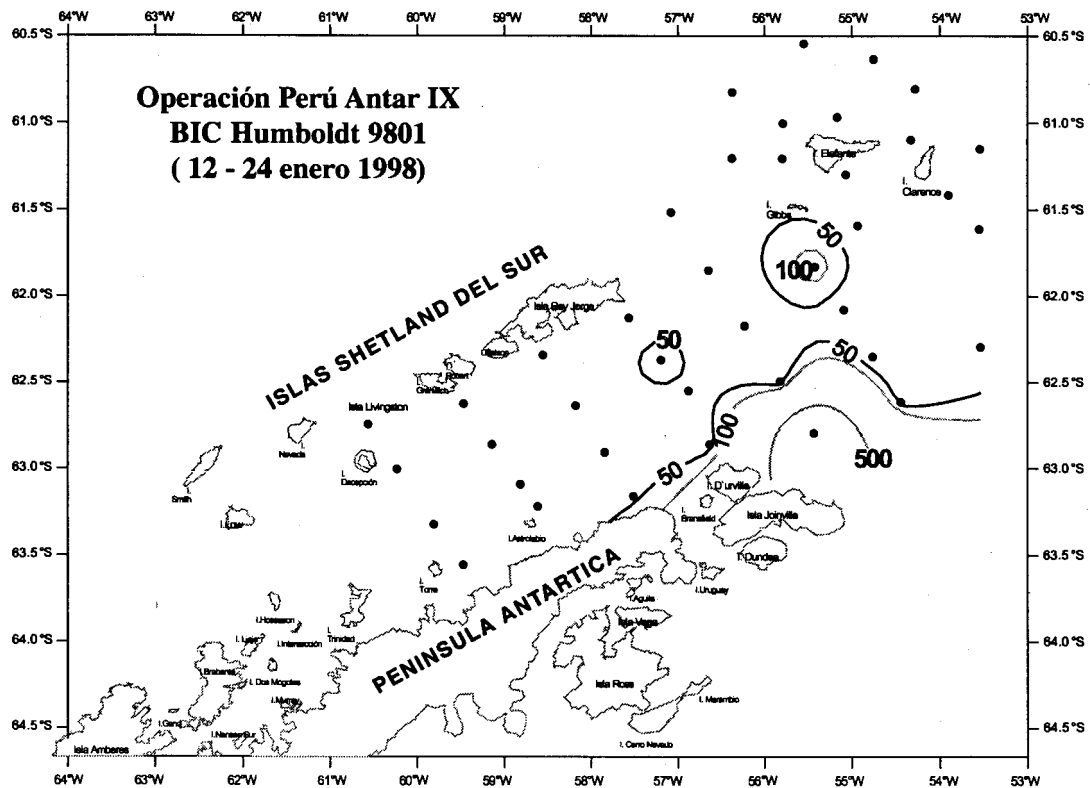


FIGURA 8. Distribución de diatomeas a 10 m de profundidad N° cel/mL.

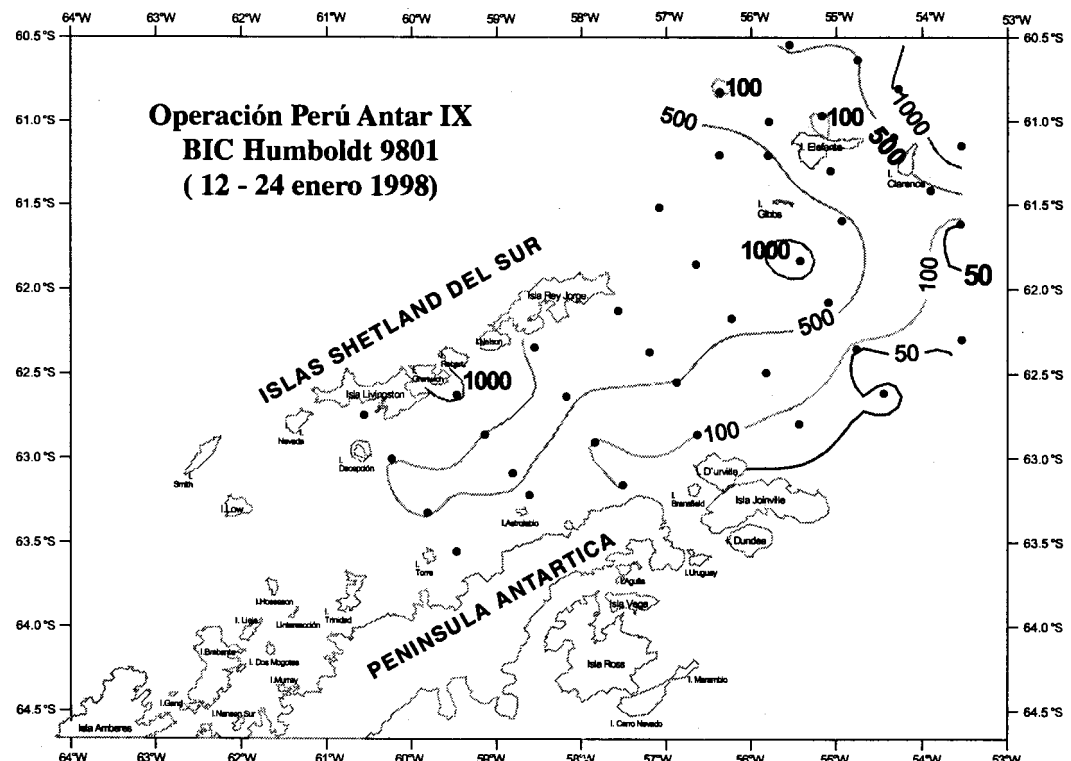


FIGURA 9. Distribución de fitoflagelados a 10 m de profundidad N° cel/mL.

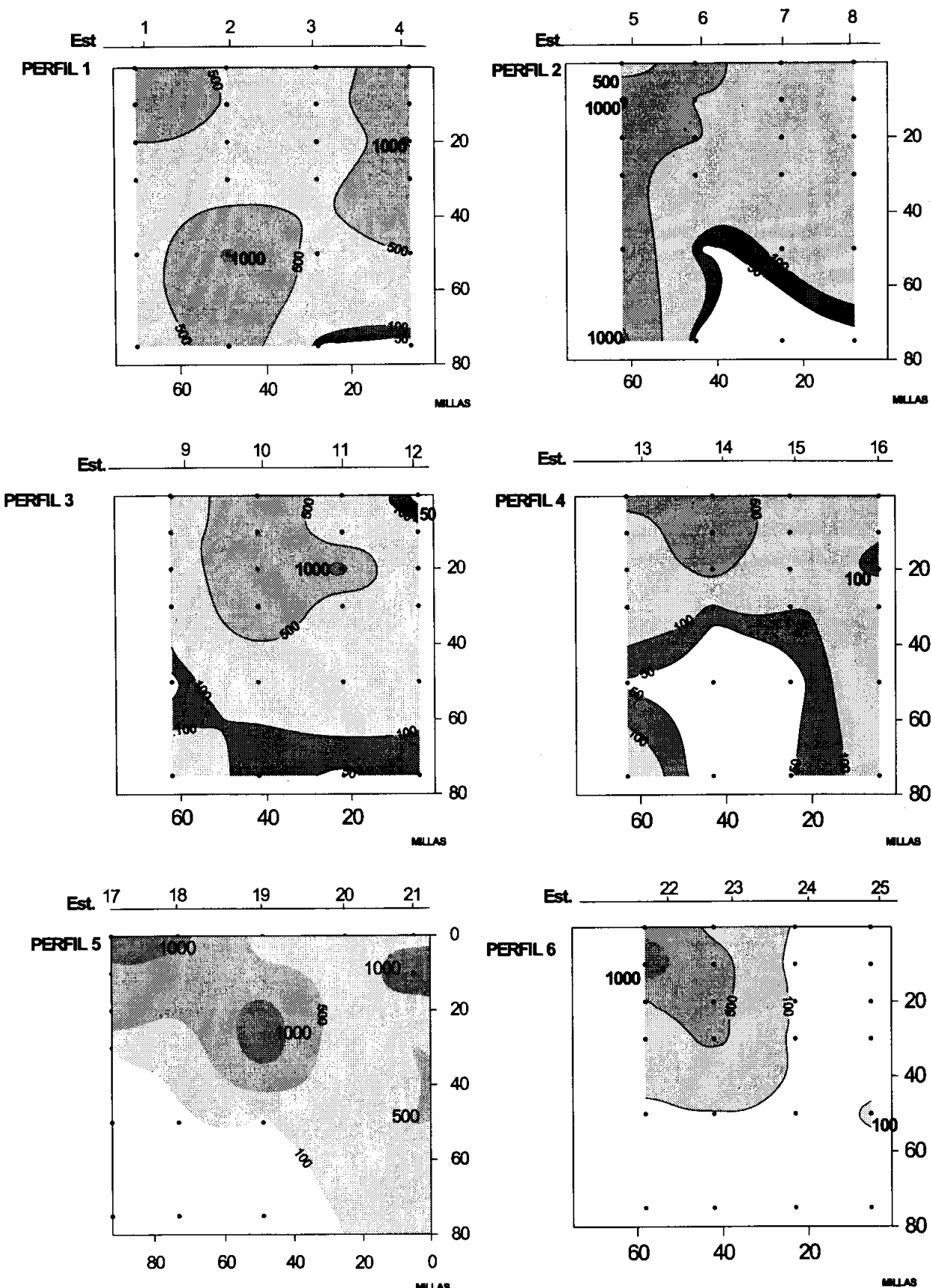


FIGURA 10. Distribución vertical de fitoplancton (Nº cel/mL).

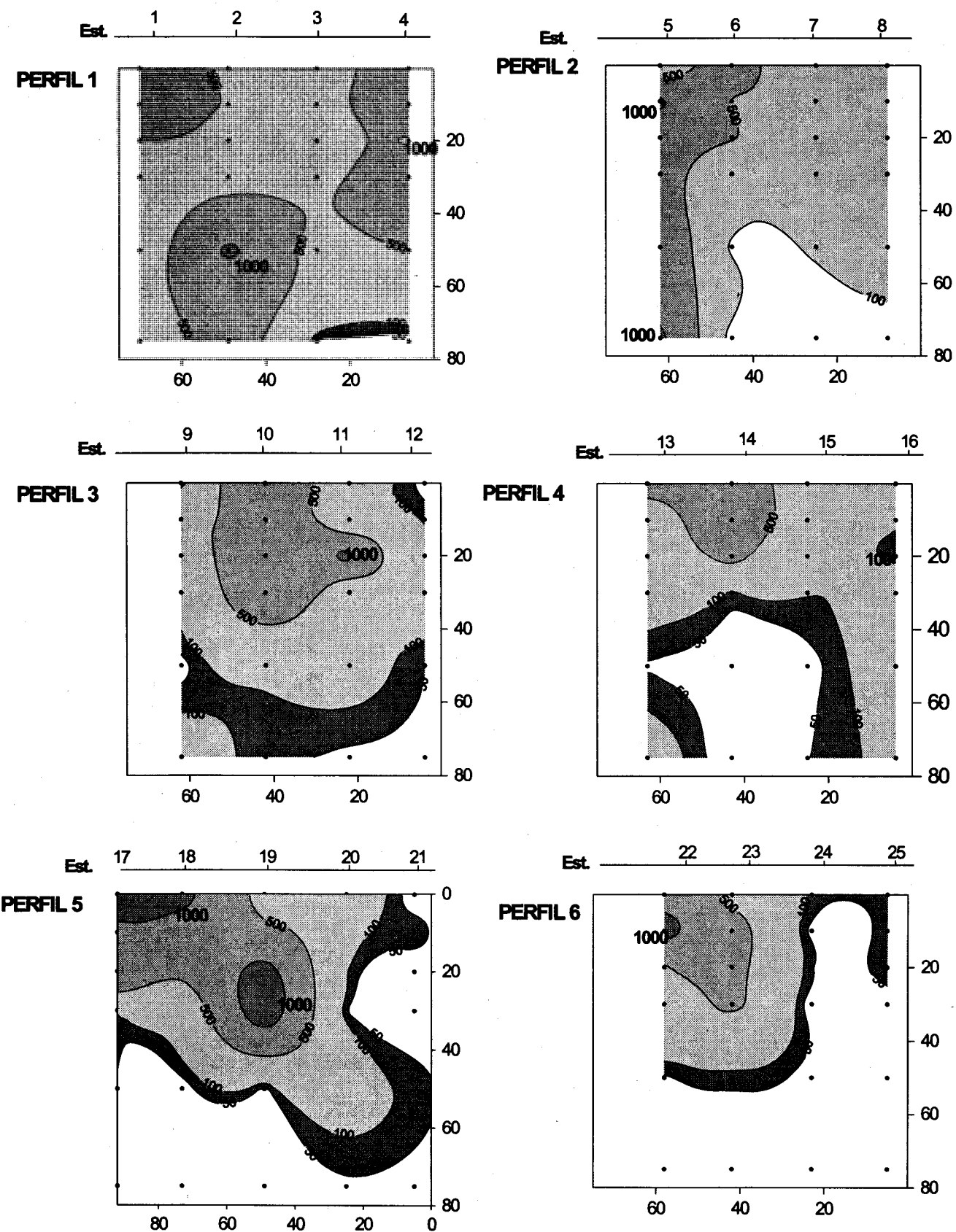


FIGURA 11. Distribución vertical de fitoflagelados (Nº cel/mL).

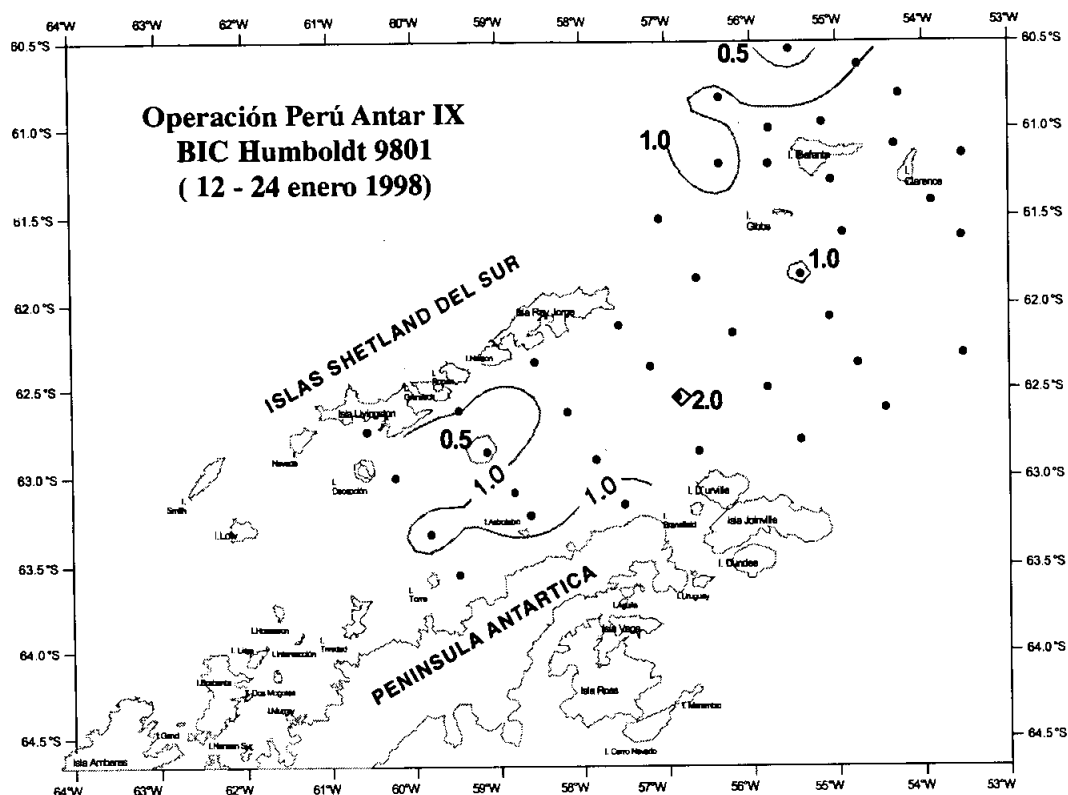


FIGURA 12. Indice de diversidad en superficie (Bits/célula).

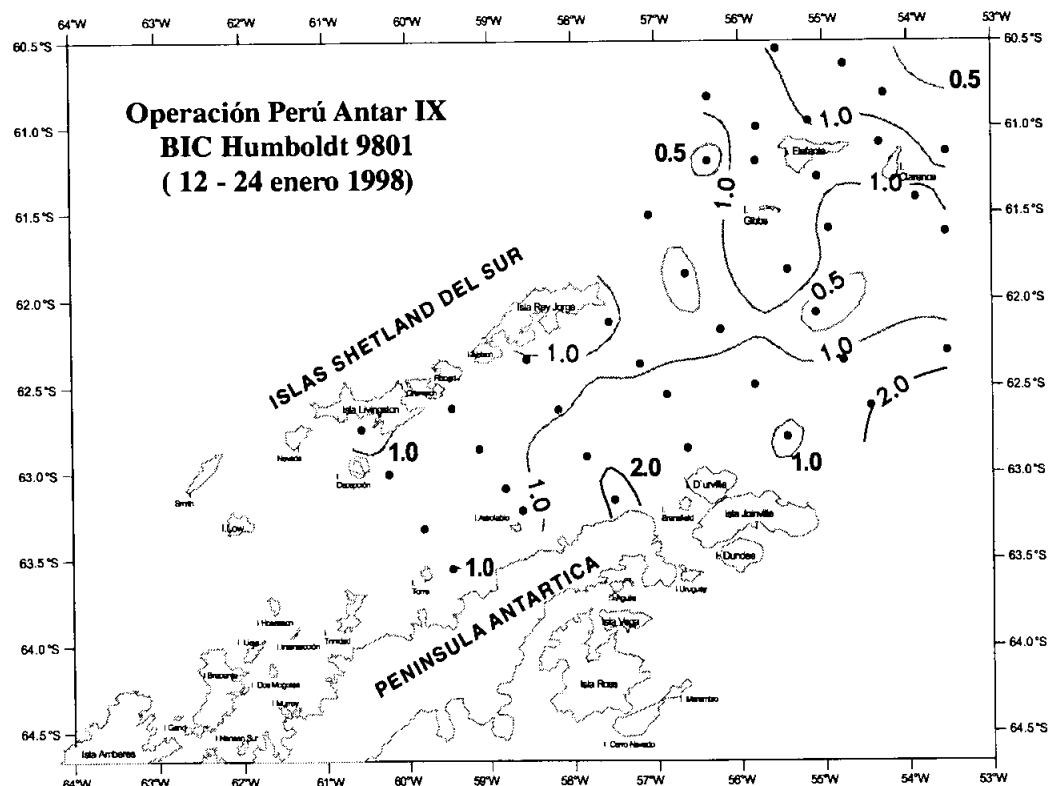


FIGURA 13. Indice de diversidad a 10 m de profundidad (Bits/célula).

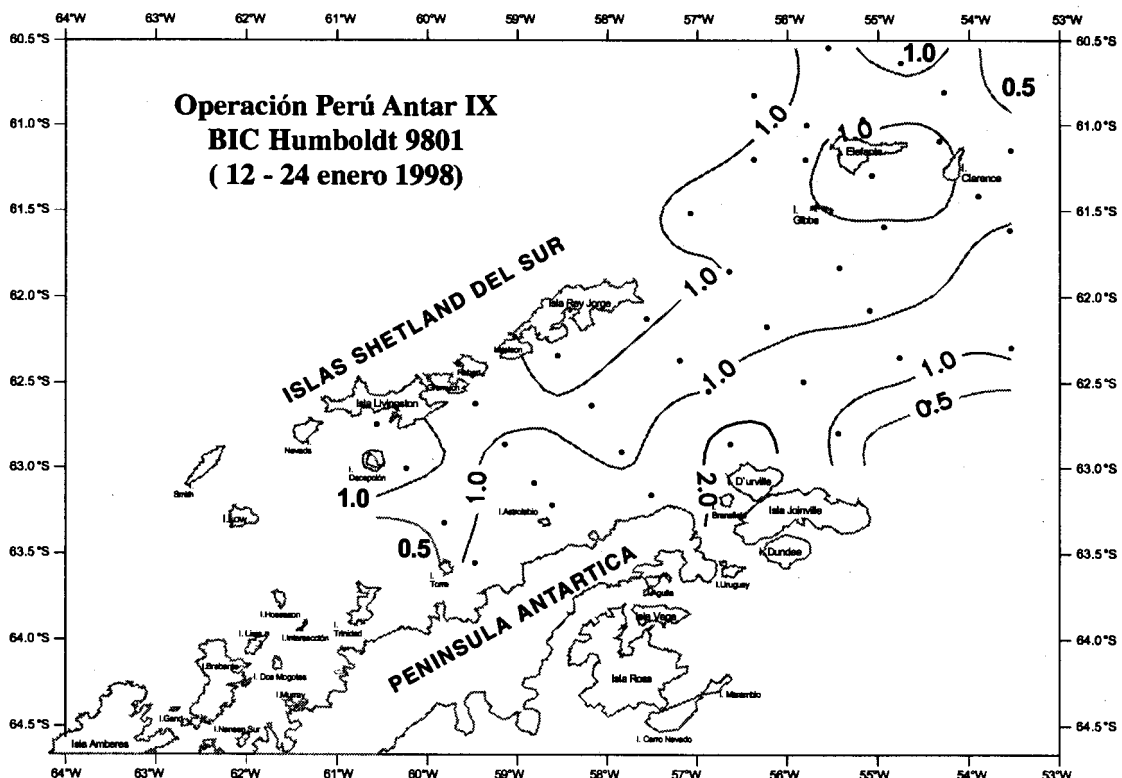


FIGURA 14. Índice de diversidad a 20 m de profundidad (Bits/célula).

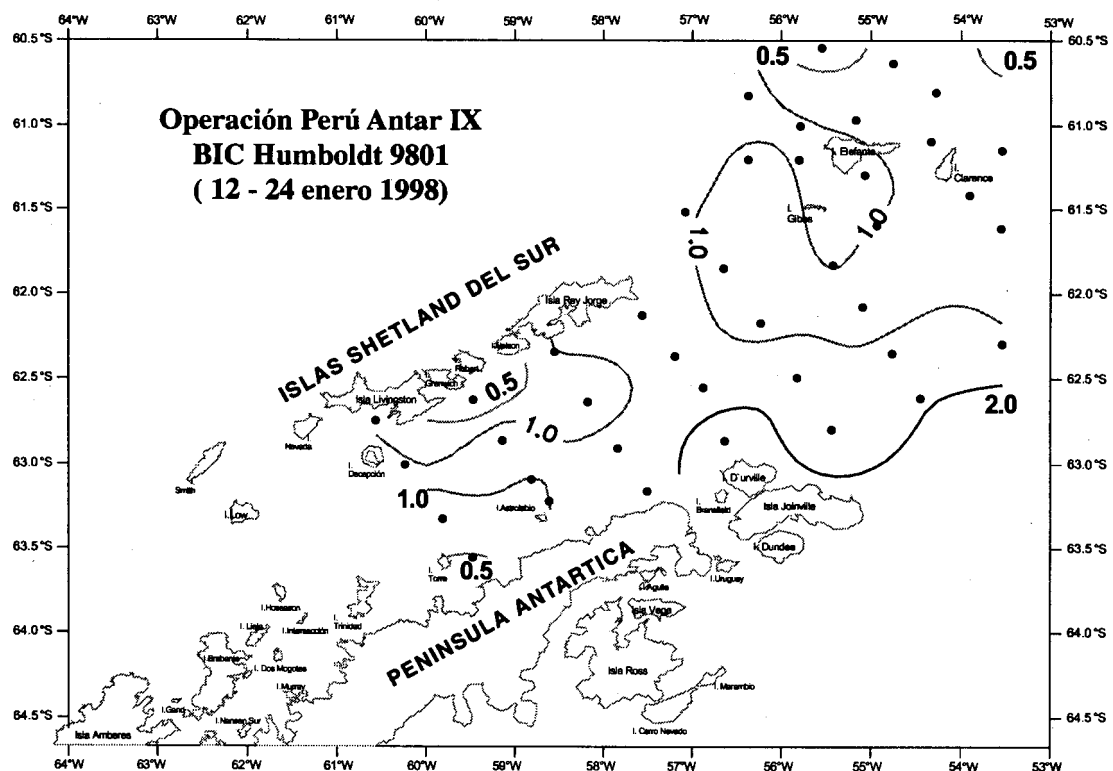


FIGURA 15. Índice de diversidad a 30 m de profundidad (Bits/célula).

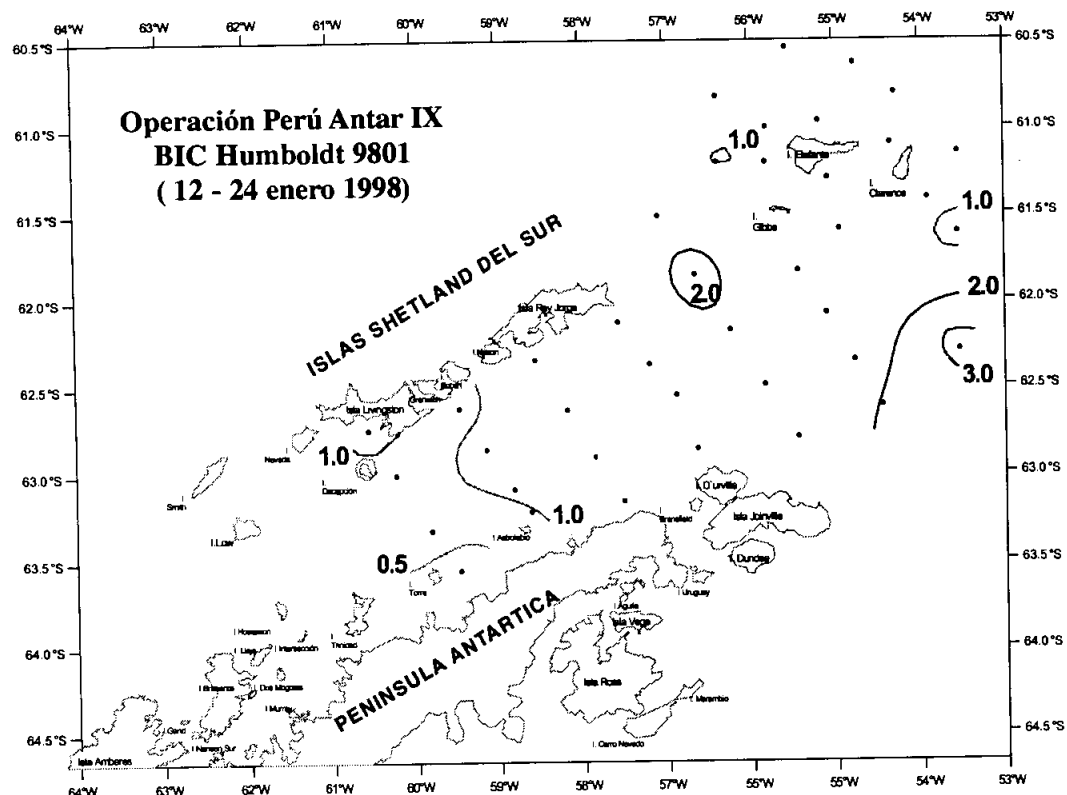


FIGURA 16. Índice de diversidad a 50 m de profundidad (Bits/célula).

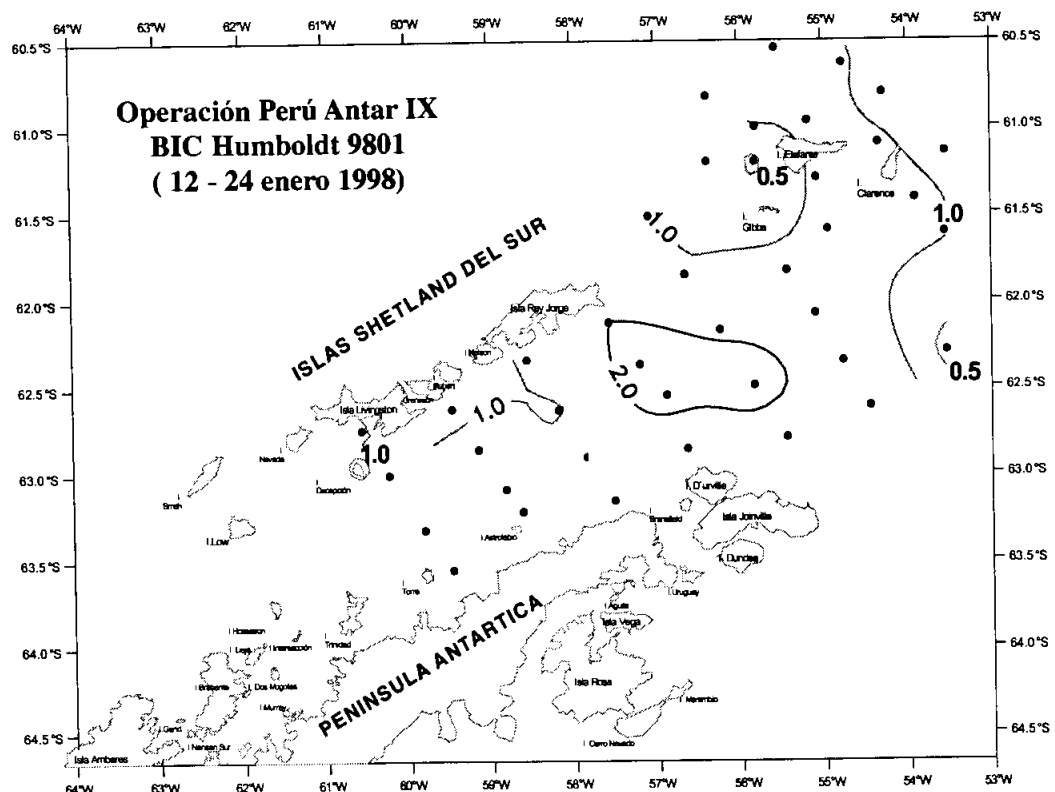


FIGURA 17. Índice de diversidad a 75 m de profundidad (Bits/célula).

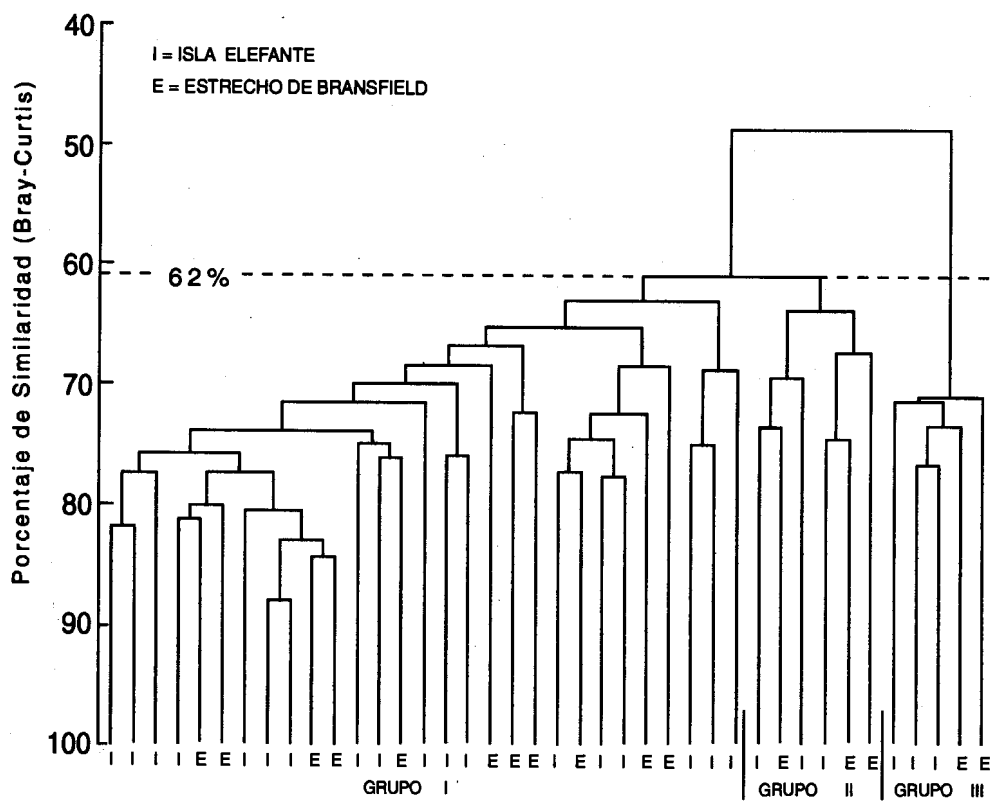


FIGURA 18. Dendrograma de análisis de agrupamiento (Bray-Curtis) para las estaciones durante el verano austral 1998.

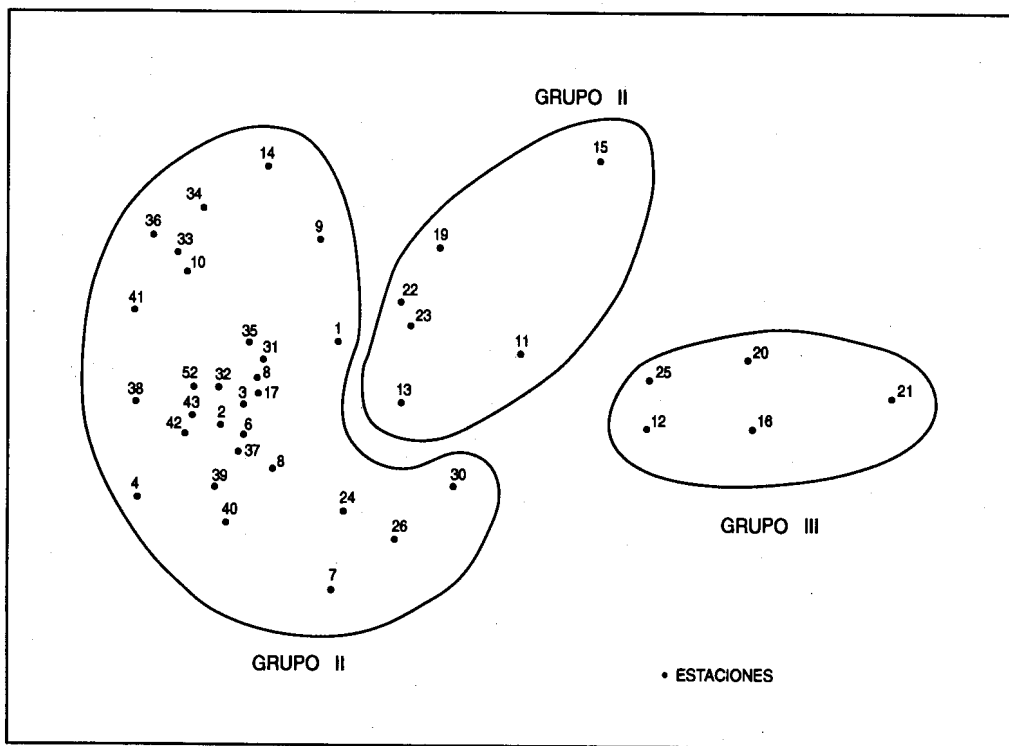


FIGURA 19. Ordenación MDS, comparando la distribución de las concentraciones de fitoplancton en cada estación de muestreo, durante el verano austral 1998. (valor de Stress 0.14).